

cq. dw Maxwell delle onde

$$\epsilon_0 \epsilon_r \mu_0 \frac{\partial^2 E}{\partial z^2} = D^2 E \Rightarrow \text{in una dom} \Rightarrow \epsilon_0 \epsilon_r \mu_0 \frac{\partial^2 E}{\partial z^2} = \frac{\partial^2 E}{\partial t^2}$$

una soluz. omogenea è:

$$E = E_0 e^{i(kz - \omega t)} \\ = E_0 e^{ikz} e^{-i\omega t}$$

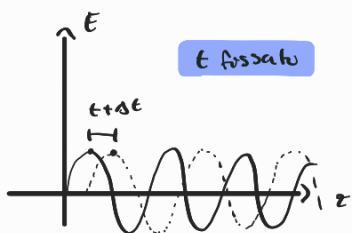
fare

dove

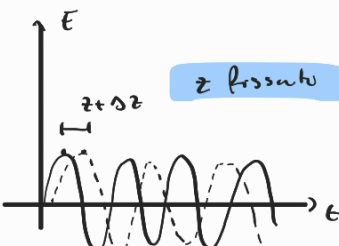
$$\begin{cases} k: \text{vettore/avvenuto d'onda}, \quad k = 2\pi/\lambda \\ \omega: \text{freq. angolare}, \quad \omega = 2\pi\nu \end{cases}$$

$$\text{Re}[E] = E_0 \cos(kz - \omega t) \quad (\text{la parte immaginaria non ci interessa, } E \text{ è un campo reale})$$

è un'onda unidimensionale



(faccio una fotografia fra ad un ist. di tempo lo fissato, e vedo come nello spazio in quell'istante l'onda)



(mi metto in un punto fisso e vedo come si muove nel tempo (onda))

$$k(z + \Delta z) - \omega(t + \Delta t) = kz - \omega t \quad \text{poiché la fase era uguale}$$

$$\cancel{kz + k\Delta z - \omega t - \omega \Delta t = kz - \omega t} \\ \text{alla pos. } z + \Delta z \quad \text{all'istante } t + \Delta t \quad \text{alla pos. } z \quad \text{all'istante } t$$

$$\cancel{k\Delta z - \omega \Delta t = 0}$$

$$\Rightarrow k\Delta z = \omega \Delta t \Rightarrow \Delta z = \omega/k \Delta t \quad \text{legge oraria del fronte d'onda}$$

$$\boxed{v_f = \frac{\omega}{k}} \quad \text{velocità di fase}$$

$$V = \frac{1}{\sqrt{\epsilon_0 \epsilon_r \mu_0}} = \frac{1}{\sqrt{\epsilon_0 \mu_0}} \cdot \frac{1}{\sqrt{\epsilon_r}} = c \cdot \frac{1}{\sqrt{\epsilon_r}}$$

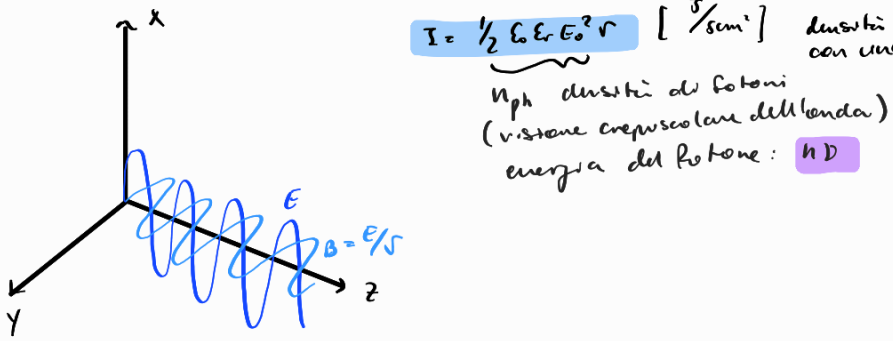
$$\Rightarrow V = \frac{\omega}{k} \quad \text{più è grande n più è dove otticamente}$$

$$(V_f =) V = \frac{\omega}{k} = \frac{2\pi\nu}{2\pi/\lambda} = \nu\lambda = \nu_n \quad (\text{nel moto diverso } V_0 = c)$$

$$\begin{cases} \omega = 2\pi\nu \\ k = 2\pi/\lambda \end{cases}$$

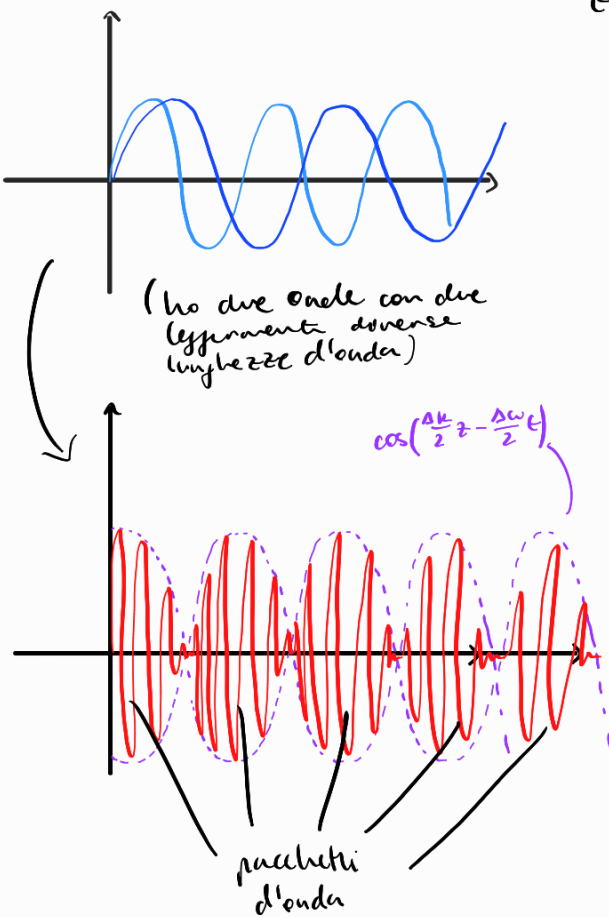
• passando dal moto ad un mezzo è la lunghezza d'onda λ che cambia, non la freq. ν

$\hookrightarrow \lambda = \nu_n$: l'onda cambia perché cambia la lunghezza d'onda



- \Rightarrow nella natura un'onda così "bella", continua, monochromatica, da $\omega \rightarrow \infty$ a $\omega \rightarrow -\infty \Rightarrow$ "continuous wave" (cw)

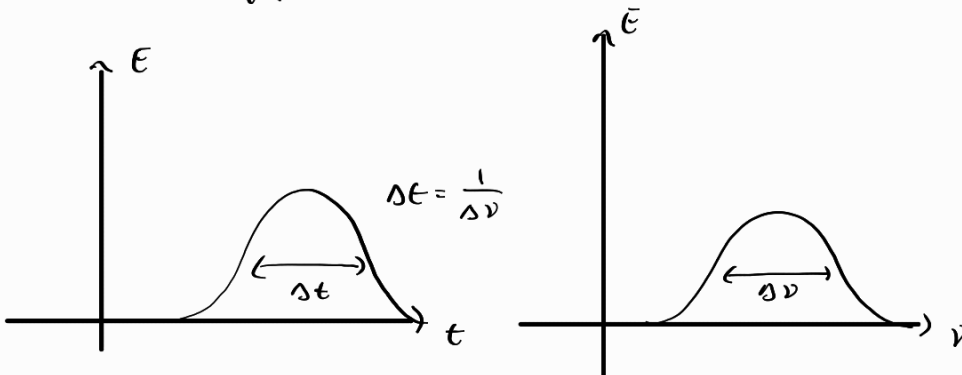
pacchetto d'onde



$$\begin{aligned}
 \bar{E}(z,t) &= E_0 e^{i(kz-\omega t)} + E_0 e^{i[(k+\Delta k)z-(\omega+\Delta \omega)t]} \\
 &= E_0 e^{i(kz-\omega t)} \left\{ 1 + e^{i(\Delta kz - \Delta \omega t)} \right\} \\
 &= E_0 e^{i(kz-\omega t)} \cdot e^{i(\frac{\Delta k}{2}z - \frac{\Delta \omega}{2}t)} \cdot \left\{ \frac{1}{e^{i(\frac{\Delta k}{2}t - \frac{\Delta \omega}{2}t)}} + e^{i(\Delta kz - \Delta \omega t)} \right\} \\
 &= E_0 e^{i(kz-\omega t)} \cdot e^{i(\frac{\Delta k}{2}z - \frac{\Delta \omega}{2}t)} \cdot \left\{ e^{-i(\frac{\Delta k}{2}t - \frac{\Delta \omega}{2}t)} + e^{i(\frac{\Delta k}{2}z - \frac{\Delta \omega}{2}t)} \right\} \cdot 2 \\
 &\stackrel{\text{coseno}}{=} E_0 e^{i(kz-\omega t)} \cdot e^{i(\frac{\Delta k}{2}z - \frac{\Delta \omega}{2}t)} \cdot \cos\left(\frac{\Delta k}{2}z - \frac{\Delta \omega}{2}t\right) \quad \text{LF} \\
 &\Downarrow |E|^2 \\
 &I = 4E_0^2 \cos^2\left(\frac{\Delta k}{2}z - \frac{\Delta \omega}{2}t\right) \Rightarrow \text{HF}
 \end{aligned}$$

la somma di due onde con lunghezze d'onda poco diverse mi dà un'onda con lunghezza d'onda molto più lunga

$$\lambda_{\text{nuovo}} = \frac{2\pi}{\Delta k} \text{ in piccolo}$$



più breve voglio l'impulso più componenti devo avere infine

per $\Delta \nu \rightarrow \infty$ ottengo un impulso che è una delta di Dirac S(t) nei tempi

viceversa se ho una sola componente armonica in freq. nei tempi ho una cost.
 \hookrightarrow continuous wave

il pacchetto allonda poi a sua volta si muove

$$v_g = \frac{\Delta w}{\Delta k} \quad \text{velocità di gruppo} \Rightarrow \frac{dw}{dk} \quad \text{derivate della relaz. di dispersione}$$

È la velocità con cui si muovono i pacchetti, che è la velocità di propagaz. del $\cos\left(\frac{3\pi}{2}z - \frac{3\omega t}{2}\right)$ che ci modula

$$\text{vel voto} : \quad \sqrt{g} = c = \frac{dw}{dk}$$

$$\frac{dw}{dk} = \frac{\frac{2\pi}{\lambda} \frac{dV}{d\lambda}}{\frac{2\pi}{\lambda} \frac{d^2V}{\lambda_0^2}} = \frac{\frac{dV}{d\lambda}}{\frac{1}{\lambda_0} d\lambda - n \cdot \frac{1}{\lambda_0^2} d\lambda_0} = \frac{-\frac{d\lambda_0}{\lambda_0^2} \left(-\frac{dn}{d\lambda_0} + n \right)}{\frac{1}{\lambda_0} d\lambda_0 \left(n - \lambda_0 \frac{dn}{d\lambda_0} \right)} = \frac{\frac{dV}{d\lambda_0}}{\frac{1}{\lambda_0} d\lambda_0} = \frac{1}{Ng}$$

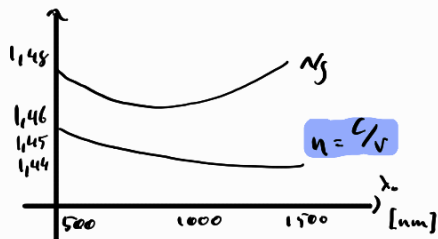
$\frac{dV}{d\lambda_0}$

$w = 2\pi V$

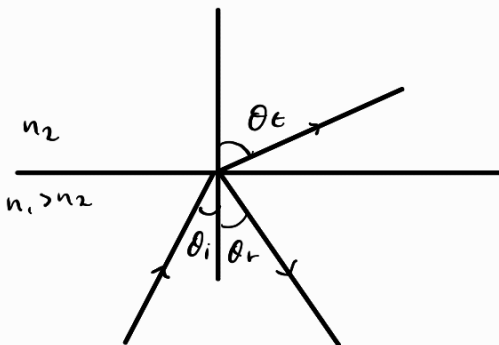
$k = 2\pi/\lambda = 2\pi n/\lambda_0$

$\lambda = \lambda_0/n$

$Ng = n - \lambda_0 \cdot \frac{dn}{d\lambda_0}$ se n non distende
da $d\lambda_0$ $Ng = n$

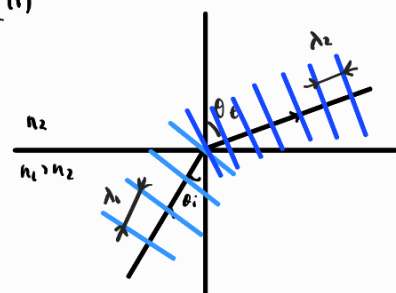


Leydi Snell



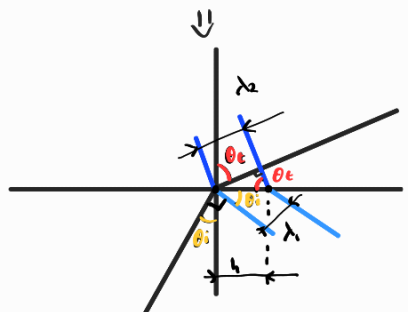
$$(1) \quad \theta_i = \theta_r$$

dm (11)



$$\lambda_1 = \frac{v_1}{\nu} = \frac{q_{m1}}{\nu}$$

$$\lambda_2 = \frac{v_2}{\nu} = \frac{q_{m2}}{\nu}$$

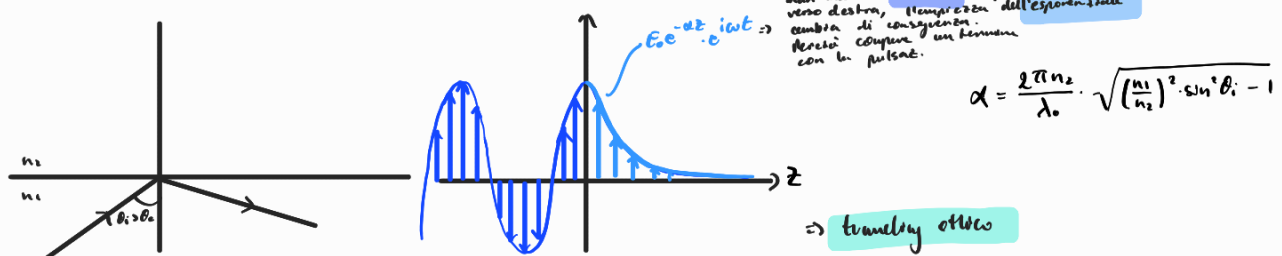


$$\sin \theta_0 = \frac{h_2}{n} \Rightarrow h = \frac{\lambda c}{\sin \theta_0} \Rightarrow h = \frac{\lambda_2}{\sin \theta_0} = \frac{\lambda_1}{\sin \theta_i} \Rightarrow \frac{c'}{h_2 \sin \theta_0} = \frac{c'}{n_i \sin \theta_i}$$

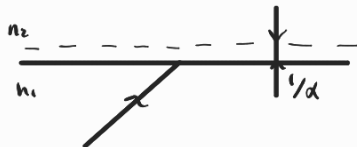
$$\hookrightarrow \frac{h_1}{h_2} = \frac{\sin \theta_2}{\sin \theta_1}$$

se $\theta_t = 90^\circ \Rightarrow$ riflessione totale interna (TIR) $\Rightarrow \sin \theta_c = \frac{n_2}{n_1} < 1 \quad (n_1 > n_2)$
 L'angolo critico

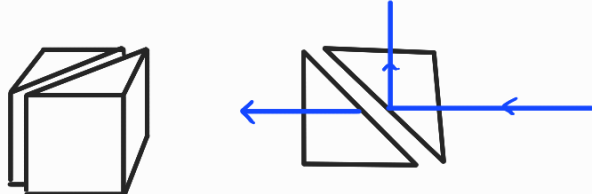
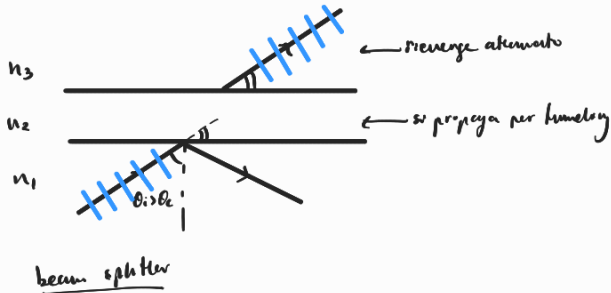
tuttavia, ci sono anche effetti del second brotine



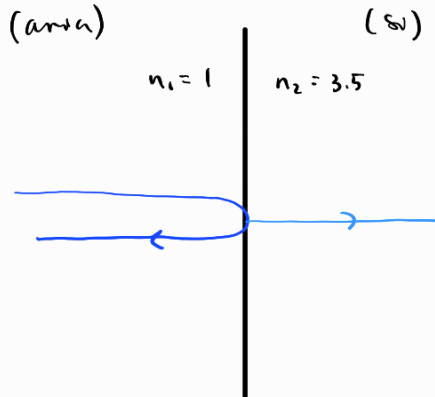
effetto di Geos - Hünicken



è come se l'onda andasse a invadere su una sup. più in là di quella reale



strato anti riflesso



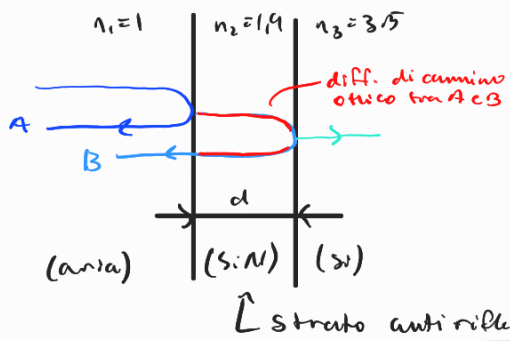
- voglio minimizzare la componente riflessa

$$R = r^2 = \left(\frac{n_1 - n_2}{n_1 + n_2} \right)^2 \approx 0,3 \text{ cioè il } 30\% \text{ della luce viene riflessa}$$

↳ riflettanza: qt. di intensità di luce che viene riflessa all'interfaccia

- come ridurre ulteriormente la comp. riflessa?

↳ aggiungo un III° strato



- qual'è lo sfasamento tra i due fasci riflessi?
- a fronte di una riflessione esterna ho uno sfasamento di 180°
- (considero incidenza \perp seno dovrà uscire i coeff. di Fresnel)

provo da un mezzo otticamente meno denso e incido su un mezzo più denso

↳ strato anti riflesso

$$A \Rightarrow \phi_A = 180^\circ \text{ (riflessione esterna)} \quad \text{infatti} \quad r = \frac{n_1 - n_2}{n_1 + n_2} < 0 \quad \text{il campo cambia segno}$$

↳ è analogo a R solo che è relativo al campo elettrico non all'intensità

$$B \Rightarrow \phi_B = 180^\circ + 2dk = 180^\circ + 2d \cdot \frac{2a}{\lambda/n_2}$$

sfasamento dovuto alla diff. di cammino ottico
(= diff. camma $\cdot k$)

voglio avere $2dk = 180^\circ$ per avere $\Delta\phi = \phi_B - \phi_A = 180^\circ + 180^\circ - 180^\circ = 180^\circ$ così da avere che A e B si sommano controfase

$$\Rightarrow 2d \cdot \frac{2a \cdot n_2}{\lambda} = m\pi, \quad m \in \mathbb{N}$$

↳ $d = m \frac{\lambda}{4n_2}$ con $m \in \mathbb{N}$ condiz. di antifase

\Downarrow
 $(m=1, \lambda = 600\text{nm})$

\Downarrow
 $d \approx 80\text{nm}$

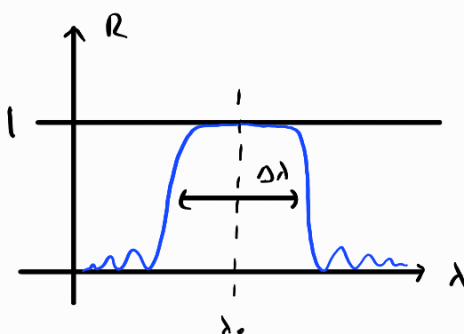
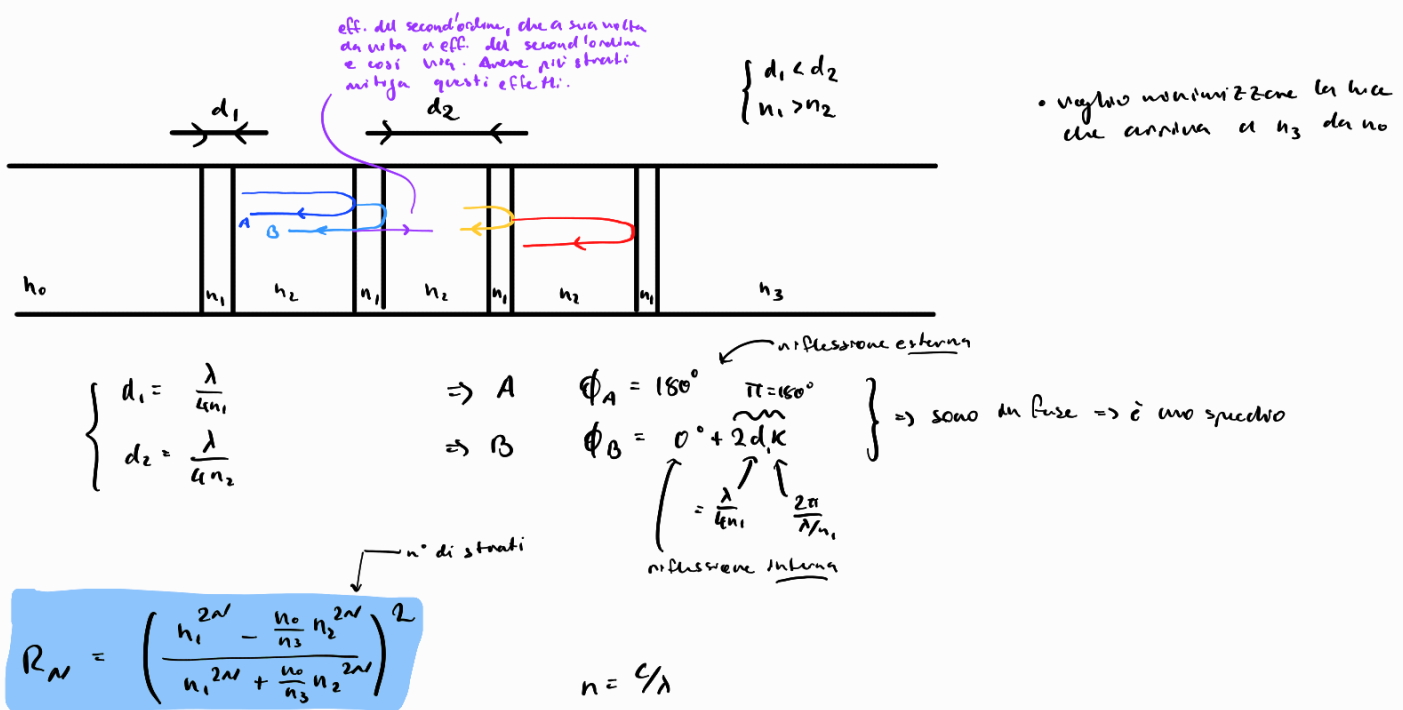
• fettante A e B hanno ampiezze diverse quindi nonostante si somino da controfase non è detto che si annullino

⇒ negl. A e B con ampiezza simile per avere una cancellaz. totale.

↳ un val. adatto è: $n_2 = \sqrt{n_1 \cdot n_3}$ (condiz. sulla lunghezza)

$\sim 1,9$

distributed Bragg reflector (DBR)

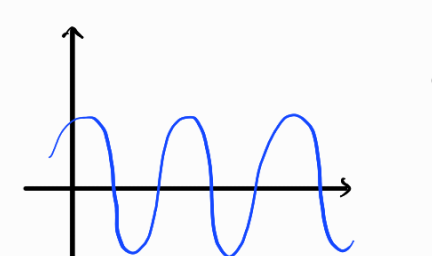


$$\frac{\Delta\lambda}{\lambda_0} = \frac{4}{\pi} \arcsin \left(\frac{n_1 - n_2}{n_1 + n_2} \right)$$

↳ (d_0 sarebbe d su cui calcola d)

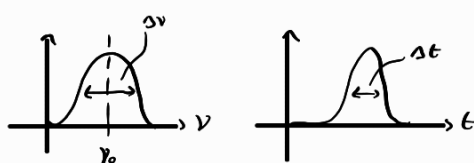
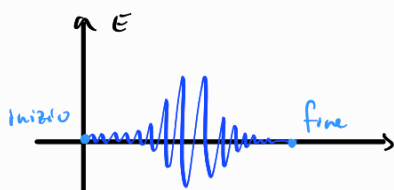
$$n = n(d) = c/\lambda$$

Lunghezza di coerenza



continuous wave (cw) (laser): $E = E_0 e^{i(kz-\omega t)}$

↳ nella realtà, i fasci non sono monochromatici e non sono continui $\alpha \pm \infty$

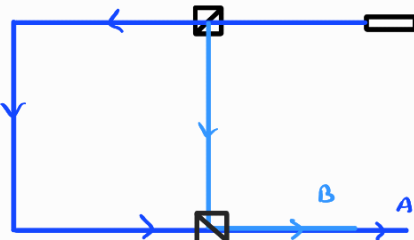


$$(At = 1/\Delta\nu)$$

$L = \text{percorso fatto dalla luce in } L = c \cdot \Delta t = \frac{c}{\Delta v} \Rightarrow L = \frac{c}{\Delta v}$ lunghezza di coerenza

L mi dà una strada rigovernata
della lunghezza in cui il光束
laser è in fase con se stesso

e.s. esperimento con beam splitter



- se $L >$ diff. cammino ottico
 $\rightarrow A$ e B incoerenti fra di loro

$$\begin{aligned} Na \quad \lambda &= 589 \text{ nm} \\ \Delta v &= 5 \cdot 10^9 \text{ Hz} \\ \Delta t &= \frac{\lambda}{\Delta v} = 2 \text{ ns} \\ L &= c \cdot \Delta t = 0,6 \text{ mm} \end{aligned}$$

$$\begin{aligned} \text{He-Ne} \quad \lambda &= 632,8 \text{ nm} \\ \Delta v &= 10^9 \text{ Hz} \\ \Delta t &= 1 \text{ ns} \\ L &= 30 \text{ cm} \end{aligned}$$

$$\begin{aligned} \text{single-mode} \\ L = 100 \text{ m} \end{aligned}$$

Interferenza

$$\begin{aligned} &\bullet 1,2 \text{ sorgenti coerenti fra di loro} \\ &\left\{ \begin{array}{l} E_1 = E_{10} e^{i(\vec{k} \cdot \vec{r}_1 - \omega t)} \\ E_2 = E_{20} e^{i(\vec{k} \cdot \vec{r}_2 - \omega t)} \end{array} \right. \quad (\text{stesse } k, \omega \sim \text{coerenti}) \end{aligned}$$

sorapp. eff. (come sol. dell'eq. di Maxwell, eq. lin.) $\Rightarrow \bar{E}_{\text{TOT}} = \bar{E}_1 + \bar{E}_2$

$$I = |\bar{E}|^2 = |\bar{E}_1 + \bar{E}_2|^2 = |\bar{E}_1|^2 + |\bar{E}_2|^2 + 2 \underbrace{\bar{E}_1 \cdot \bar{E}_2}_{\text{sfasamento fra i fusi}} + 2 E_{10} E_{20} \cos(\Delta\phi)$$

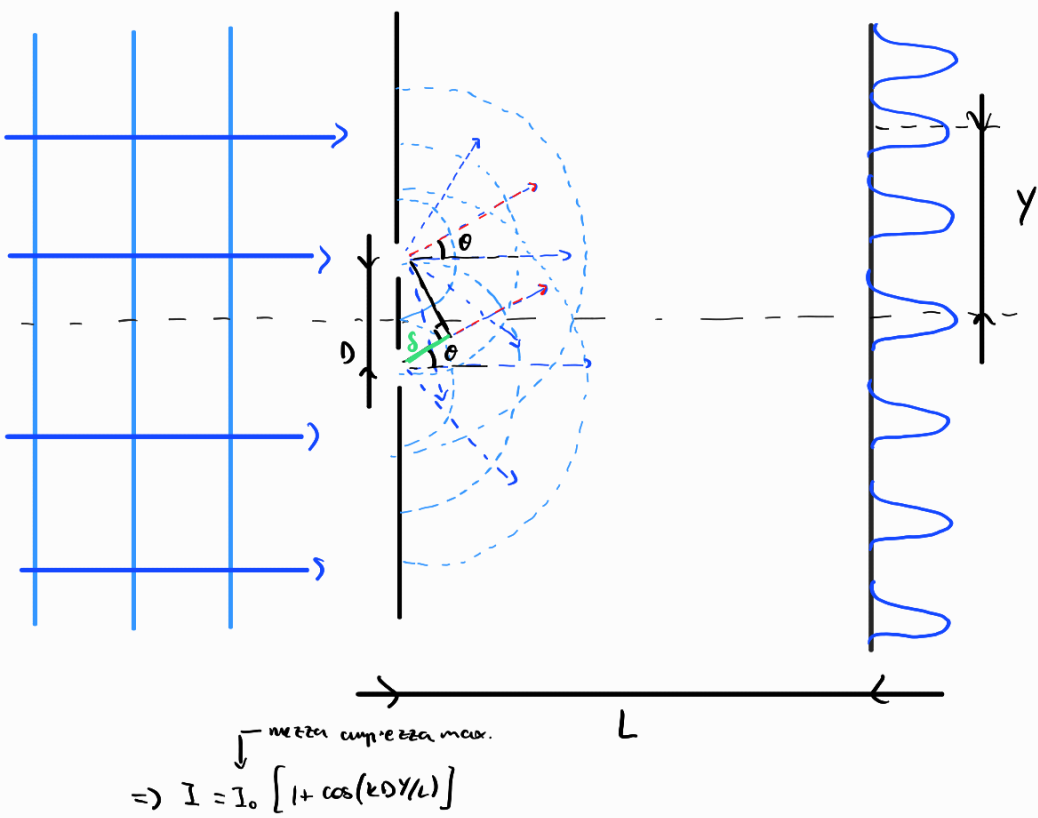
||

$$\text{poco } E_{10} = E_{20} = E_0$$

||

$$\begin{aligned} \Delta\phi &\quad \text{sono in fase} \Rightarrow I = 4E_0^2 \quad (\text{interf. costruttiva}) \\ 180^\circ &\quad \text{sono in contrafase} \Rightarrow I = 0 \quad (\text{interf. distruttiva}) \end{aligned}$$

$$\Delta\phi = K \cdot \underbrace{(r_1 - r_2)}_{\text{diff. cammino ottico}}$$



$$J = D \sin \theta \cdot K \sim KD \%$$

strong & pseudo (y << 1)

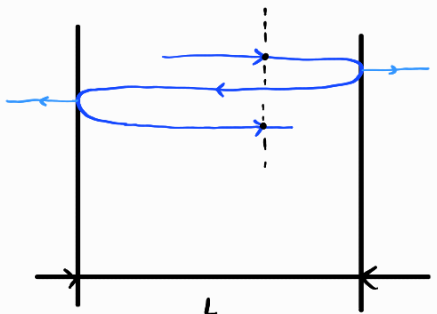
$$\Rightarrow \sin\theta \approx \tan\theta = \frac{y}{x}$$

$$\Rightarrow I = I_0 \left[1 + \cos(k_0 y/L) \right]$$

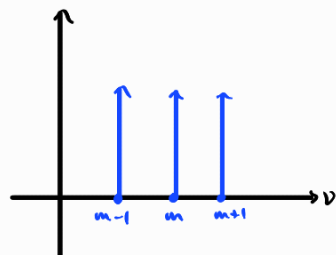
pongo le condiz. sullo sfascamento per avere
 interf. costruttiva: $KD \frac{Y_1}{L} = m^2 \bar{\alpha}$, $m \in M$

(per two rows : western range $kL \cdot \gamma L = (2m+1)\pi$.)
 interf. destructive)

cavità Fabry-Perot.

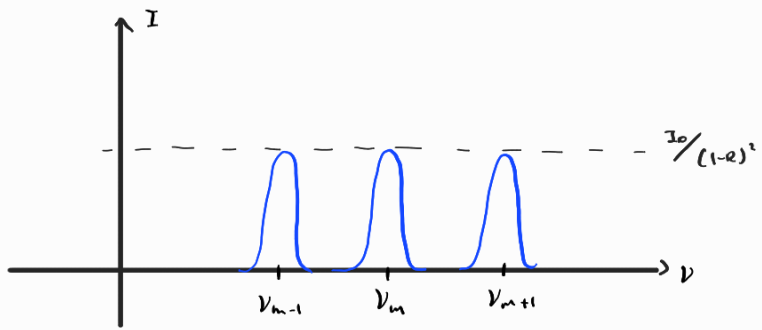


$$\begin{aligned} k \cdot 2L &= m \cdot 2\pi \quad \text{condiz. 3 dei modi} \\ \cancel{k} \cdot \cancel{2L} &= m \cdot 2\pi \\ \Rightarrow L &= m \frac{\pi}{2} \quad (\lambda = 2L_m) \\ \Rightarrow V &= C/L \Rightarrow V = \frac{C}{2L} \cdot m \end{aligned}$$



$$I = |EI|^2 = \frac{I_0}{\underbrace{(1 - r^2 \cos(2kL))^2 + (\underbrace{r^2 \sin(2kL)}_{Im\{J\}^2})^2}_{Re\{J\}^2}} = \frac{I_0}{1 + \underbrace{R^2 \cos^2(2kL)}_{1 - 2\sin^2(kL)} - 2R \underbrace{\cos(2kL)}_{2R \sin^2(kL)} + \underbrace{R^2 \sin^2(2kL)}_{4R \sin^2(kL)}}$$

$$I = \frac{I_0}{(1-R)^2 + 4R \sin^2(kL)} \Rightarrow \begin{cases} \text{picchi: } kL = m\pi \\ \text{minimi: } kL = (m+1)\frac{\pi}{2} \end{cases}$$



$$\Rightarrow \text{max. per } kL = m\pi \Rightarrow k = m\pi/L \Rightarrow \frac{2\pi}{\lambda} = m\pi/L = \frac{2}{c}v = m/L$$

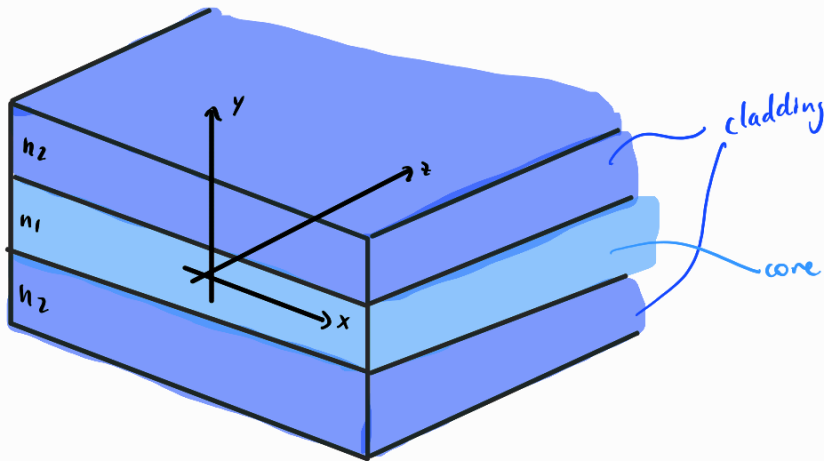
$$\Rightarrow v = \frac{c}{2L} \cdot m$$

colinelle proprie con le freq.
dei modi ammessi che avevamo
trovato precedentemente

$$v = c/\lambda$$

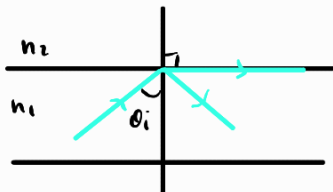
guida d'onda (waveguide)

- mezzo che permette di trasmettere luce



$$n_1 > n_2 \quad (n_1 \approx 1.48, n_2 \approx 1.46)$$

- permette iltrappolamento della luce
- riflessione interna: da un mezzo più denso a uno meno denso

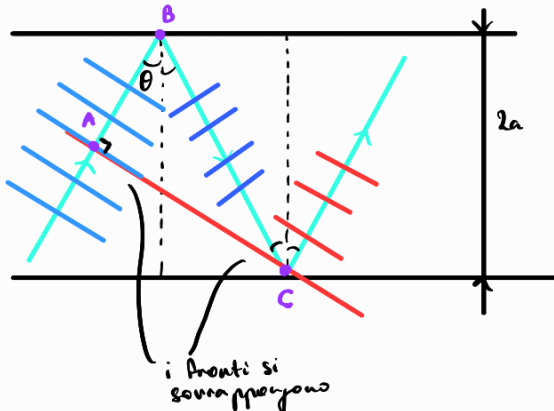


$$\text{TIR: } \theta_i > (\theta_i)_c$$

$$n_1 \sin \theta_i = n_2 \sin \theta_c \Rightarrow \theta_c = 90^\circ \Rightarrow (\theta_i)_c = \arcsin\left(\frac{n_2}{n_1}\right)$$

• riflessione dopo riflessione trasmette luce

- c'è un numero discreto di modi che si possono propagare nella guida



• nasce una interferenza tra i fronti:

$$\begin{cases} \bar{AB} = \bar{BC} \cos(2\theta) = \bar{BC}(1 - 2\sin^2\theta) \\ \bar{BC} = \frac{2a}{\cos\theta} \end{cases}$$

$$\Rightarrow \bar{AB} + \bar{BC} = \bar{BC}(1 - 2\sin^2\theta) + \bar{BC} = \bar{BC}(1 - 2\sin^2\theta + 1)$$

$$= 2\bar{BC}(1 - \sin^2\theta)$$

$$= \frac{4a}{\cos\theta}(1 - \sin^2\theta)$$

$$= \frac{4a}{\cos\theta}(1 - 1 + \cos^2\theta)$$

$$\Rightarrow \underbrace{\bar{AB} + \bar{BC}}_{\text{diff. di cammino ottico}} = 4a \cos\theta$$

diff. di cammino ottico

$$\text{sfracento: } k \cdot 4a \cos\theta$$

$$\text{per avere interferenza costruttiva: } k \cdot 4a \cos\theta_m - 2k'm = m \cdot 2\pi \Rightarrow \frac{2a}{\lambda/n_1} \cdot k \cos\theta_m - k'm = m \cdot 2\pi$$

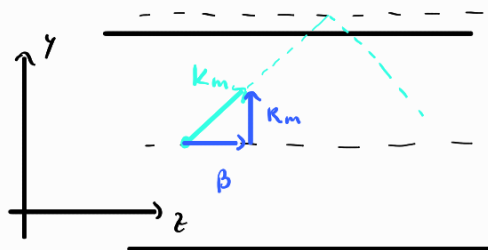
$$\Rightarrow \frac{4\pi a n_1}{\lambda} \cos\theta_m - k'm = m\pi$$

segno - per convenzione

sfracento davanti alle 2 riflessioni interne ($\theta_i \neq 0$
quindi lo sfracento davanti alla riflessione interna non è zero)

quindi ho degli angoli ammessi nella guida

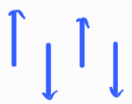
per $m=0, 1, \dots$, ho diversi modi che viaggiano nel core, riflettendo ad angoli diversi



• scompongo l'onda in 2

* β onda propagante verso \hat{z}

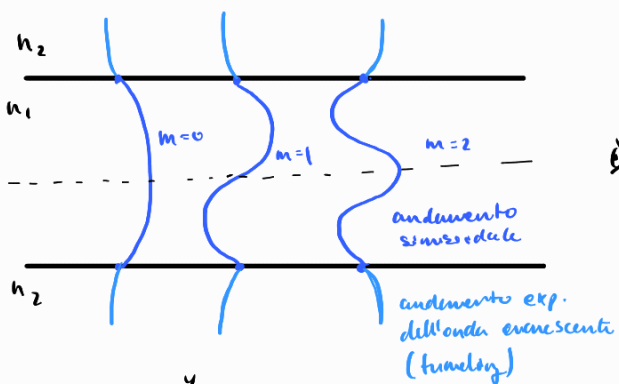
* k_m onda staz. che oscilla/n riflette su e giù lungo y



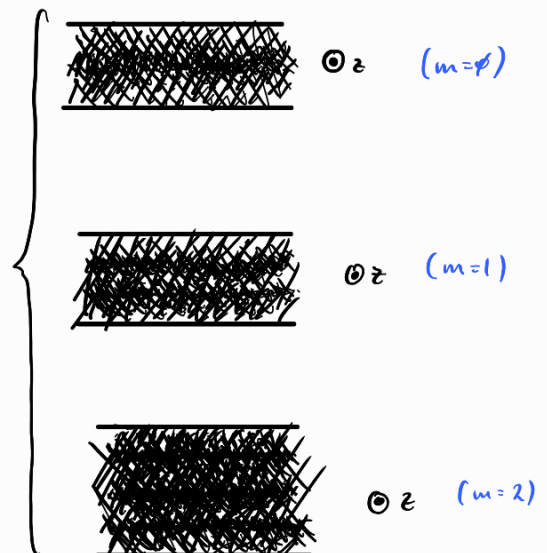
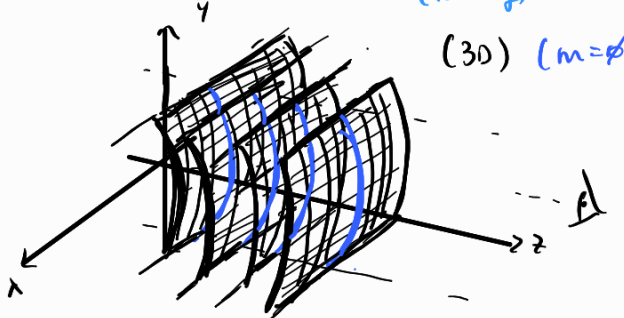
$$E(y, z, t) = E_m(y) e^{i(\beta_m z - \omega t)}$$

componente oscillante

Inutile: onda staz. che
dipende da y e non da z .
Dipende anche dal modo.
Var (modo) ha un traiettorio diverso



guardando
dagli "arrivi"



$$\text{condiz. TIR: } \theta_m > \theta_c$$

$\cos \theta_m < \cos \theta_c$

$$n_1 \sin \theta_c = n_2 \sin \theta_c$$

$$\sin \theta_c = \frac{n_2}{n_1}$$

$$\sin^2 \theta_c + \cos^2 \theta_c = 1 \Rightarrow \cos \theta_c = \sqrt{1 - \left(\frac{n_2}{n_1}\right)^2}$$

(prendo i val > 0, trano nel primo quadrante
 $\theta_c \in [0, \pi]$)

$$\text{ricordando che: } \frac{4\pi n_1}{\lambda} \cos \theta_m - k_m = m\pi \Rightarrow \cos \theta_m = \frac{(m\pi + k_m)}{4\pi n_1}$$

$$\Rightarrow \cos \theta_m < \sqrt{1 - \left(\frac{n_2}{n_1}\right)^2}$$

$$\Rightarrow \frac{\lambda}{4\pi n_1} \cdot (m\pi + k_m) < \sqrt{1 - \left(\frac{n_2}{n_1}\right)^2} \Rightarrow m < \frac{2 \cdot \frac{2\pi n_1}{\lambda} \sqrt{1 - \left(\frac{n_2}{n_1}\right)^2} - k_m}{\pi} = \frac{2V - k_m}{\pi} \Rightarrow V = \frac{2\pi n_1}{\lambda} \sqrt{1 - \left(\frac{n_2}{n_1}\right)^2} \quad V - \text{numero}$$

è elettrica,
 k_m è funz. di m

• per m crescenti l'angolo d'incidenza θ_m è sempre più piccolo. L'ultimo modo cioè per $\theta_m \rightarrow 0^\circ$, $(\ell_m \rightarrow \emptyset)$

• per trovare il numero di modi dunque considero $\ell_m \rightarrow \emptyset$ che mi dà un max e per trovare il numero di modi sommo +1 ($m=0, m=1, m=2 \Rightarrow 2+1$ modi)

$$\Rightarrow M = \text{n° modi} = \text{floor}\left(\frac{2V}{\pi} + 1\right) \quad (= m_{\max} + 1)$$

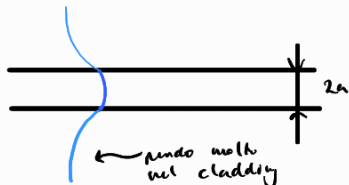
↑
modo basso
all'inizio
più basso

$M < \frac{2V - \ell_m}{\pi} < 1 \Rightarrow \frac{2V - \ell_m}{\pi} < 1 \Rightarrow V < \frac{\pi + \ell_m}{2}$ si vede avrà un solo modo, quel modo sarà anche l'ultimo $\Rightarrow \ell_m \rightarrow \emptyset$

condiz. per avere un singolo modo

$$\Rightarrow V < \frac{\pi}{2} \quad \text{condiz. di singolo modo, condiz. di cut-off : } V > \frac{\pi}{2} \quad (\text{quando nasce il secondo modo})$$

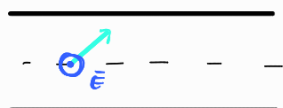
questa condiz. implica che: $V = \frac{2n_{air}}{\lambda} \sqrt{1 - \left(\frac{n_2}{n_1}\right)^2} < \frac{\pi}{2} \Rightarrow$ modo α_1 piccolo cioè a c.d.
ma se così fosse avrei questo schizzi:



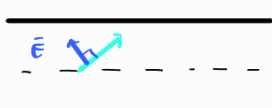
quindi tendenzialmente ci poniamo con V non sotto $\frac{\pi}{2}$ e quindi con λ non

onde TE

TE



TM



$$\tan\left(\frac{\ell_m}{2}\right) = \frac{\sqrt{\sin^2\theta_m - \left(\frac{n_2}{n_1}\right)^2}}{\cos\theta_m}$$

formula di Fresnel
per onde TE

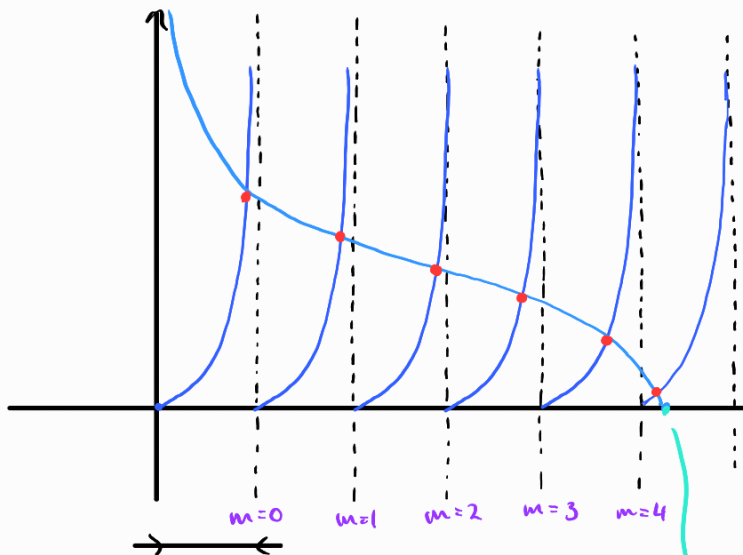
$$\tan\left(\frac{\ell_m}{2}\right) = \frac{\sqrt{\sin^2\theta_m - \left(\frac{n_2}{n_1}\right)^2}}{\cos\theta_m} = \frac{\sqrt{1 - \cos^2\theta_m - \left(\frac{n_2}{n_1}\right)^2}}{\cos\theta_m} = \tan\left(\frac{\ell_m}{2}\right) = \tan\left(\frac{2n_{air}}{\lambda} \cos\theta_m - m \frac{\pi}{2}\right)$$

$$\Rightarrow \frac{\sqrt{1 - \cos^2\theta_m - \left(\frac{n_2}{n_1}\right)^2}}{\cos\theta_m} = \tan\left(\frac{2n_{air}}{\lambda} \cos\theta_m - m \frac{\pi}{2}\right)$$

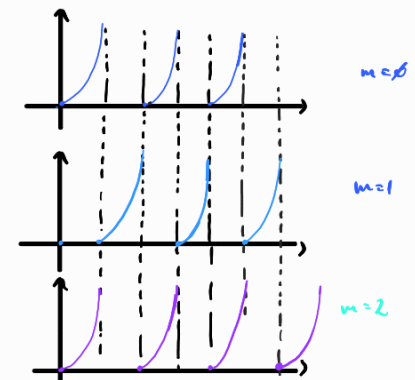
$\left(\begin{array}{l} \frac{2n_{air}}{\lambda} \cos\theta_m - \ell_m = m\pi \\ \ell_m = \frac{2n_{air}}{\lambda} - m\pi \end{array} \right)$

$f(\cos\theta_m)$ $g(\cos\theta_m)$

risolviamo gli interventi:



ogni intersezione è un cos θ_m ammesso cioè un modo
L> (in questo caso $M=6$)



- gli indici puri e dispari poi si sovrappongono

$$\frac{2\pi n_{air}}{\lambda} \cos \theta_m - m \frac{\pi}{2} = \frac{\pi}{2}$$

$$\Rightarrow \cos \theta_m = \frac{\lambda}{4n_{air}} (1+m) \Rightarrow \text{numero modo} = \frac{\lambda}{4n_{air}}$$

$$M = \text{n° nodi} = \text{floor} \left(\frac{\cos \theta_c}{\lambda / 4n_{air}} + 1 \right)$$

n° di periodi che ci stanno tra 0 e $\cos \theta_c$
(+1 per contare l'ultimo)

$$\sqrt{1 - \cos^2 \theta_m - \left(\frac{n_e}{n_i}\right)^2} = \phi$$

$$\cos \theta_m = \frac{1 - \left(\frac{n_e}{n_i}\right)^2}{1 + \left(\frac{n_e}{n_i}\right)^2}$$

$$\cos \theta_m = \sqrt{1 - \left(\frac{n_e}{n_i}\right)^2} = \cos \phi$$

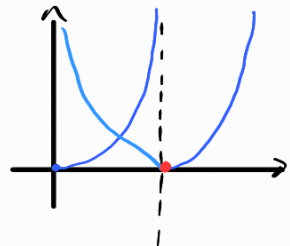
$$\Rightarrow M = \text{floor} \left(\frac{\cos \theta_c}{\lambda / 4n_{air}} + 1 \right) = \text{floor} \left(\frac{\sqrt{1 - \left(\frac{n_e}{n_i}\right)^2} \cdot 4n_{air}}{\lambda} + 1 \right) = \text{floor} \left(\frac{2 \cdot 2n_{air} \sqrt{1 - \left(\frac{n_e}{n_i}\right)^2}}{\lambda \cdot \pi} + 1 \right)$$

$$\Rightarrow M = \text{floor} \left(\frac{2V}{\pi} + 1 \right) \quad \text{stesso risultato ottenuto precedentemente}$$

condiz. di single-mode

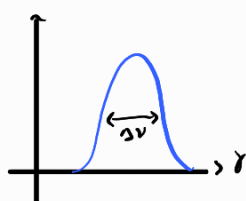
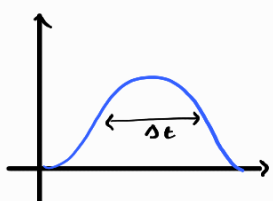
$$\cos \theta_c < \frac{\lambda}{4n_{air}} \Rightarrow \sqrt{1 - \left(\frac{n_e}{n_i}\right)^2} < \frac{\lambda}{4n_{air}} \Rightarrow \frac{2 \cdot 2n_{air} \sqrt{1 - \left(\frac{n_e}{n_i}\right)^2}}{\lambda \pi} < 1 \Rightarrow \frac{2V}{\pi} < 1$$

$$\Rightarrow V < \frac{\pi}{2}$$



non mettiamo e pertanto non conto anche il secondo modo

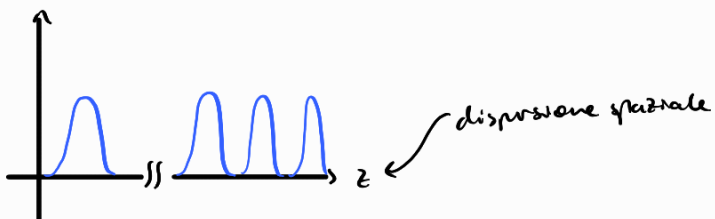
dispersione



$$\Delta \nu = 1/\Delta t$$

- processo in cui mentre il pacchetto si propaga nel tempo si allunga (dispersione temporale)

contributo internodale



dispersione spaziale

$$\sqrt{g} \text{ velocità di gruppo: } \frac{dw}{dk} \quad (=c \text{ nel vuoto})$$

Rm β_m Km
 $\beta_m = \frac{\omega_m}{k_m}$

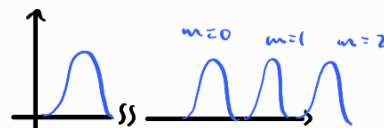
- quindi interessante come si propaga la luce verso z

$$Ls \frac{dw}{d\beta_m} \quad \text{dove } \beta_m = k_m \cos \alpha$$

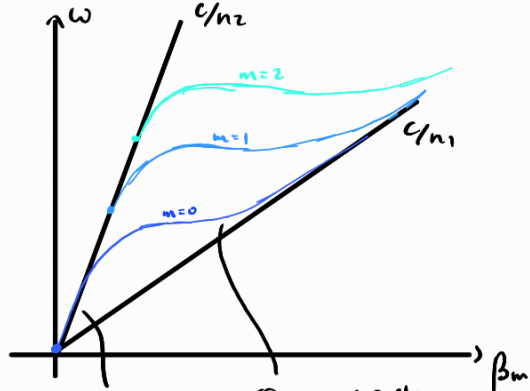


- i modi di ordine superiore a quelli di core e percorso invadono di più il cladding che ha indice di rifraz. minore così è meno denso otticamente
- quindi nonostante i modi ad ordini inf. percorrono in cammino ottico minore, quelli di ordine maggiore percorrono più spazio in un mezzo meno denso e vanno dunque nel complesso più veloci

qualità intrinseca:

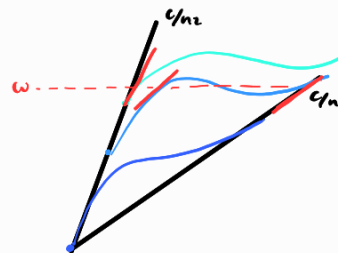
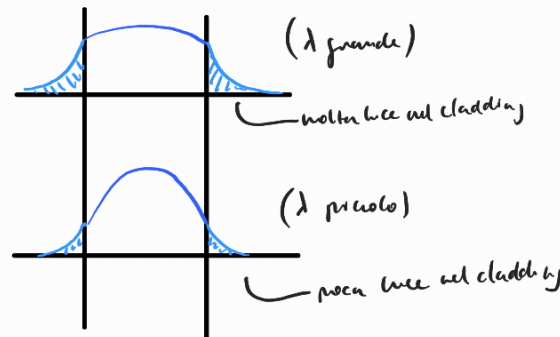


relaz. di dispersione



① per ω piccolo cioè λ grande (onda waggia nel cladding perché stanno vicini all'asimmetria c/n_2)

② man mano che cresce ω e quindi λ (onda waggia più nel core e quindi si annienta più nel cladding)

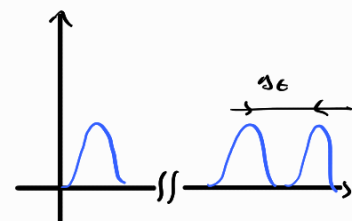


• a punti di ω i modi di ordine superiore sono più veloci (ma non del tutto che percorrono più spazio nel cladding)

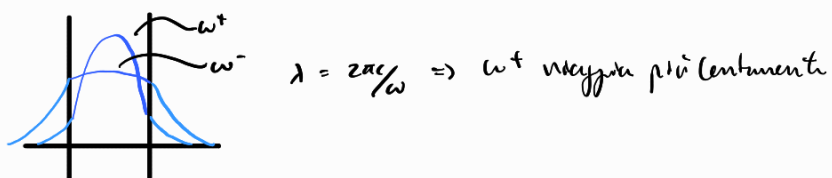
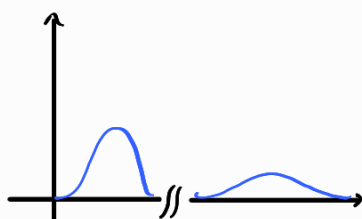
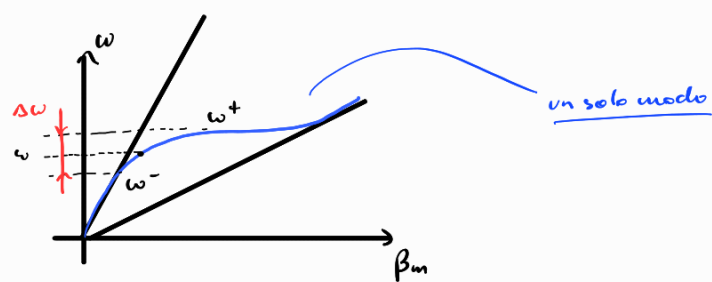
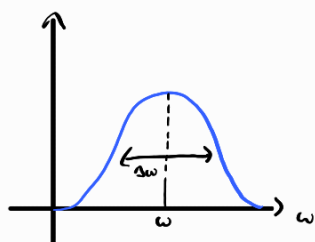
disp. dominata a più modi

$$\Delta t = t_{\max} - t_{\min} = \frac{L}{v_{\min}} - \frac{L}{v_{\max}} = \frac{L}{c/n_1} - \frac{L}{c/n_2} \Rightarrow \Delta t = \frac{L}{c} (n_1 - n_2)$$

ultimo che arriva ↑ primo che arriva ↑



contributo intramodale



dispersione materiali

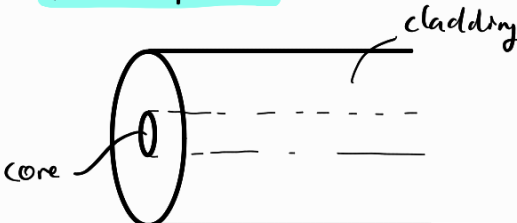
$n(\lambda)$ indice del core

$$n_g = \frac{dn}{dk} = \frac{c}{\lambda n} \quad N_g \text{ indice di gruppo: } \frac{c}{n - \lambda \frac{dn}{dk}}$$

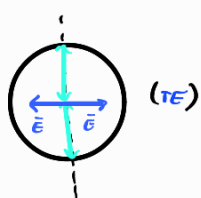
- non dipende dalla relaz. di disp. della guida ma dall'indice $n(\lambda)$ del materiale

dispersione di guida: di guida perché dipende dalla relaz. di disp. della guida (inter/intra). Quella materiale è diversa.

Fibre step-index

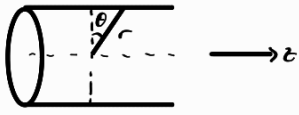


rendo il cladding spesso per non far fuoriuscire luce per effetto tunnel



$$E(r, \theta, z, t) = E_{\ell m}(r, \theta) e^{i(\beta_m z - \omega t)}$$

funz. inviluppo ordine piano
↓
distribuzione l'onda distribuzione l'onda
lungo una sezione lungo l'asse z



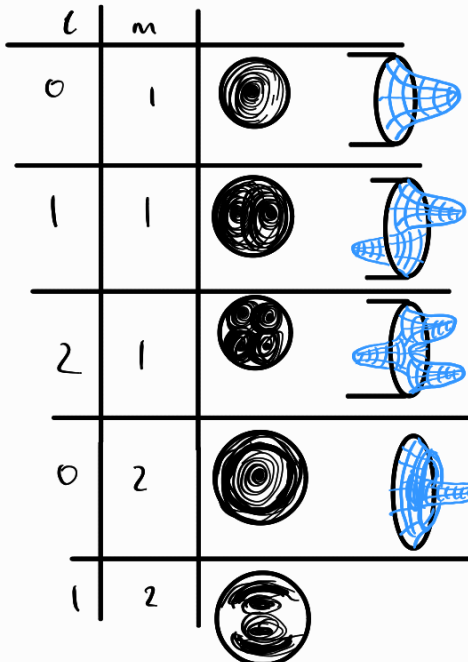
$$\text{V numerico} = \frac{2\pi a \sqrt{n_1^2 - n_2^2}}{\lambda} = \frac{2\pi a \sqrt{(n_1 n_2)(n_1 - n_2)}}{\lambda}$$

$$\left\{ \begin{array}{l} n = \frac{n_1 + n_2}{2} \text{ val. medio} \\ \Delta = \frac{n_1 - n_2}{n_2} \text{ diff. relativa} \end{array} \right.$$

$$= \frac{2\pi a \sqrt{(2n)(n_1 - 1)}}{\lambda}$$

$V < 2,405$ condiz. singolo modo

$M \sim V^2$ n° modi



dispersione in fibra

$$\frac{\Delta t}{L} = \frac{\Delta n}{c} = \frac{n_1 \cdot D}{c}$$

disp. per fibra a singolo modo

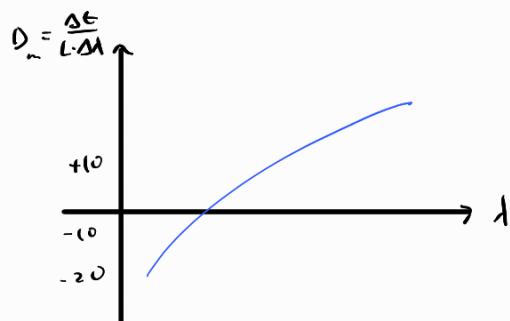
$\left\{ \begin{array}{l} 1) \text{ di gruppo} \Rightarrow \lambda \text{ contro senso + veloc} \\ 2) \text{ di matrice} \Rightarrow \lambda \text{ lunghe sono più lente per via della dispersione di n da d} \end{array} \right.$
 $\Rightarrow \frac{\Delta t}{L} = D \cdot \Delta \lambda$
 $(D = D_m + D_w)$

↑ ↑
mat. waveguide

dispersione di matrice: $t = \frac{L}{v_g} = L \frac{N_f}{c} \Rightarrow \Delta t = \frac{L}{c} \cdot \frac{dN_f}{d\lambda} \cdot \Delta \lambda \Rightarrow \frac{\Delta t}{L} = \frac{1}{c} \frac{dN_f}{d\lambda} \cdot \Delta \lambda$

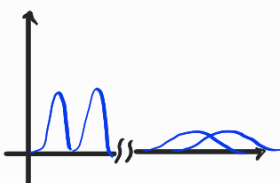
$$\Rightarrow \frac{\Delta t}{L} = \frac{1}{c} \cdot \frac{dN_f}{d\lambda} \Delta \lambda = \frac{1}{c} \left[\frac{dn}{d\lambda} - \left(1 / \frac{dn}{d\lambda} + \frac{d^2 n}{d\lambda^2} \cdot \lambda \right) \right] \Delta \lambda = - \frac{\Delta \lambda}{c} \cdot \frac{d^2 n}{d\lambda^2} \cdot \lambda$$

$N_f = n - \lambda \frac{dn}{d\lambda}$



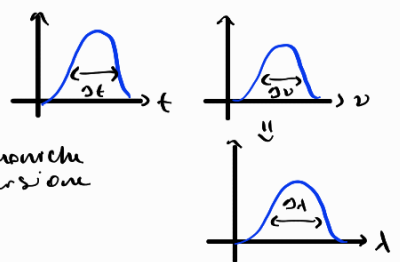
$$\frac{\Delta t}{L} = |D_m| \Delta \lambda$$

$$\text{con } D_m = - \frac{\lambda}{c} \cdot \frac{d^2 n}{d\lambda^2}$$

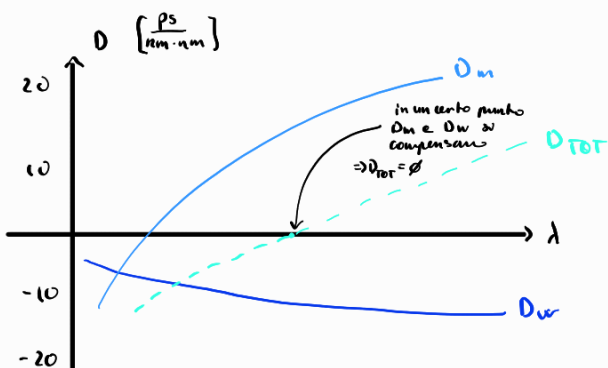
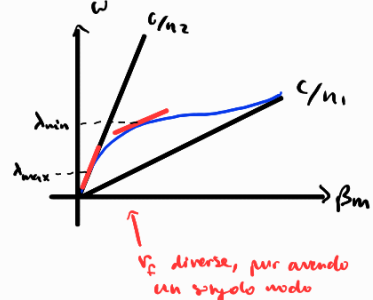
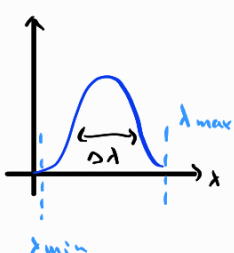


* dispersione materiale, $n(\lambda)$ dipende da $\lambda \Rightarrow D_m = -\frac{\lambda}{c} \cdot \frac{d^2n}{d\lambda^2} = \frac{\pi^2}{L^2 \lambda}$

\hookrightarrow poi sono le componenti armoniche nel pacchetto più è la dispersione

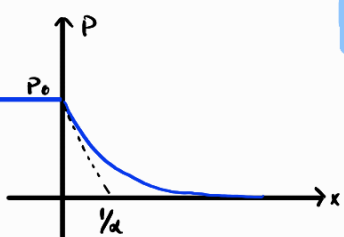


* contributo di guida $\Rightarrow D_w$



$$\lambda|_{D_{tot}=0} \approx 1550 \text{ nm (nella fibra)}$$

attenuazione



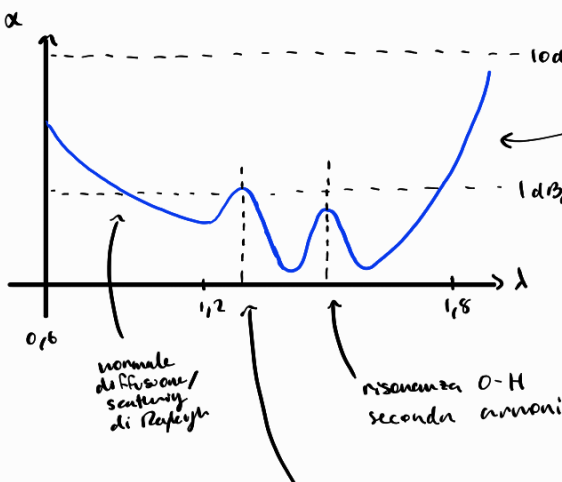
$\frac{dP}{dx} < 0$, netto una perdita per avere $\alpha > 0$

$\alpha = -\frac{dP}{dx} \cdot \frac{1}{P}$ normalizzato per la potenza totale

$\alpha: [\text{dB/km}] \sim 0,6 \text{ dB/km} \sim 13\%$ di attenuaz.

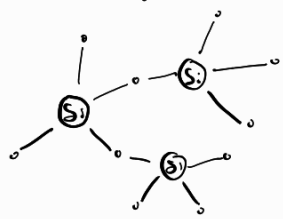
quanto potenza perde per un lungo percorso

$$\Rightarrow P(x) = P_0 e^{-\alpha x} = P_0 e^{-\frac{1}{\alpha} x}$$



composizione stretching Si-O e seconda armonica di O-H

Si-O stretching

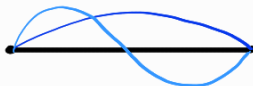


- la fibra in realtà non è un cristallo, è amorfica (infatti è un vetro)
- i legami sono come delle molle
- ⇒ Si-O stretching mode: freq. di risonanza con la freq. di oscillaz. delle "molle". La salita finale è proprio l'inizio di questo piano enorme ($\lambda \approx 9,2 \mu\text{m}$)

O-H stretching

O-H stretching mode $\approx 2,72 \mu\text{m}$

→ $1,38 \mu\text{m} (\approx \lambda/2)$
comporta una seconda armonica

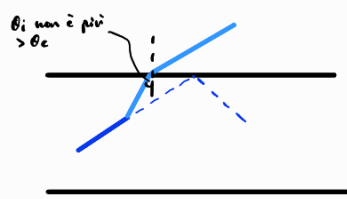


- il motivo per cui la seconda armonica non è proprio la metà è perché l'O-H si comporta da oscillatore quantistico, ma non in modo ideale (perfetto)

$$\frac{1}{1,38} + \frac{1}{9,2} = \frac{1}{1,24} \Rightarrow \text{composiz. stretching Si-O e seconde armoniche di O-H}$$

scattering di Rayleigh

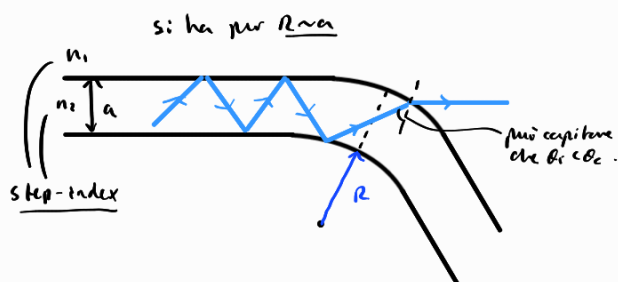
- il mezzo ottico ha deformazioni che portano a scattering dei fotoni - è come se l'onda urtasse e andasse in direz. casuale



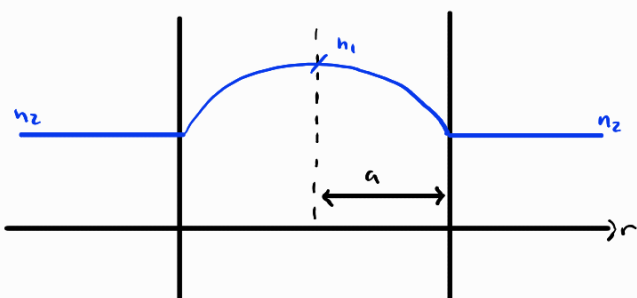
⇒ perde fotoni nel cladding

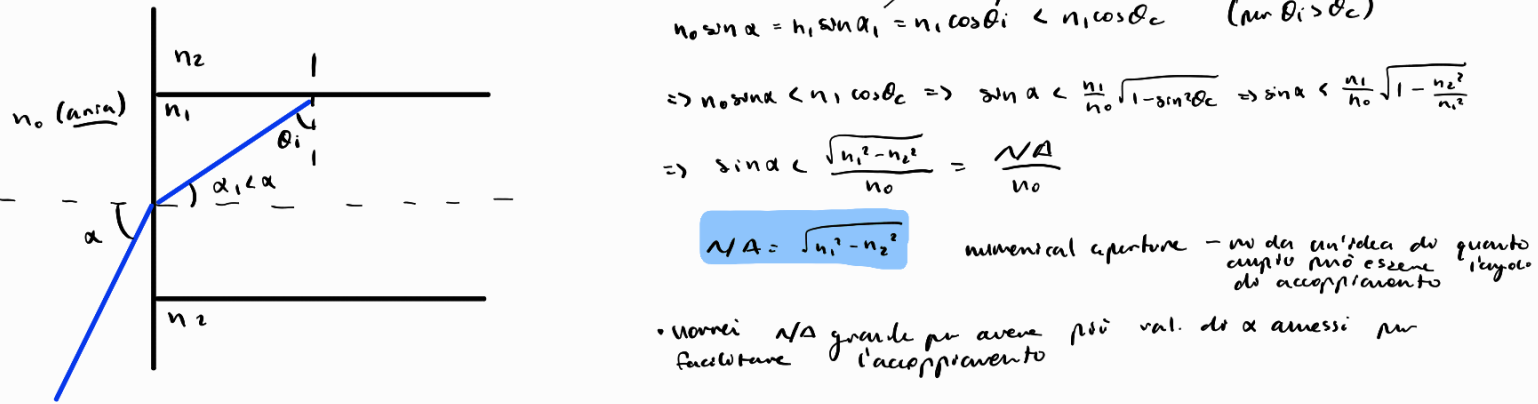
• lo scattering è maggiore a frequenze più alte

micro-bending



fibre gradated index (grin)

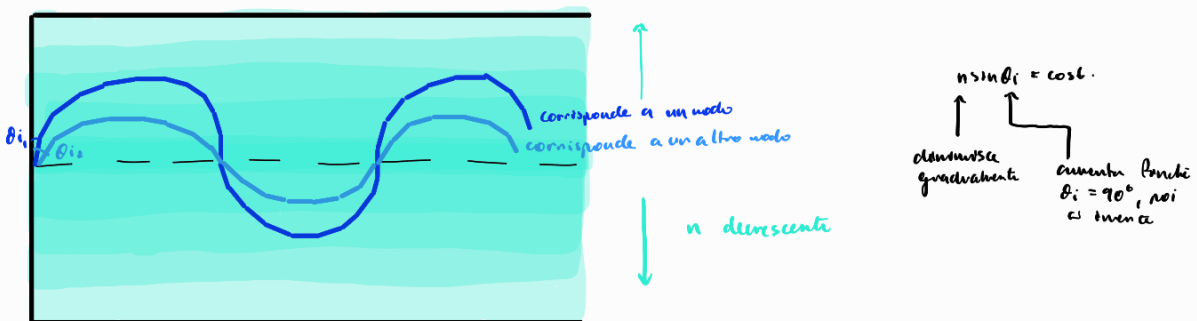




• tuttavia: $V = \frac{2\pi a}{\lambda} \cdot \sqrt{n_1^2 - n_2^2} = \frac{2\pi a NA}{\lambda} < 2,405$ per avere la condiz. di soglia minima per entrare in dispersione intermodale (che è la più fastidiosa)

⇒ c'è un conflitto / trade-off

↳ adottiamo la fibra graded-index che non risente di dispersione intermodale



percorso più breve ma in n più denso

traiettoria 1 > traiettoria 2

→ le cose si compensano e i nodi raggiungono tutti alla stessa velocità

faccio un percorso più lungo ma meglio in n meno denso

↳ non ha dispersione intermodale

$$n = n_1 \cdot \sqrt{1 - 2\Delta(\frac{r}{a})^2} \quad (\text{per rca}), \quad r \approx a$$

$$\Delta = \frac{n_1^2 - n_2^2}{2n_1^2} = \frac{(n_1 + n_2)(n_1 - n_2)}{2n_1^2} \approx \frac{2(n_1 - n_2)}{n_1^2} = \frac{n_1 - n_2}{n_1^2} \quad (n_1 \approx n_2)$$

$$\frac{n_1 + n_2}{2} \approx n_1$$

$$\text{per } r=a \Rightarrow n = n_1 \cdot \sqrt{1 - 2\Delta} \leftarrow \frac{n_1^2 - n_1^2}{2n_1^2}$$

$$= \sqrt{n_1^2 - n_1^2 + n_2^2}$$

$$= n_2$$

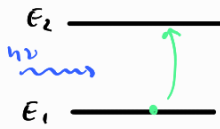
↑ ≈ radice

laser

- Light Amplification by Stimulated Emission of Radiation

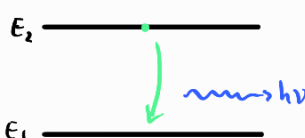
meccanismi fondamentali di transizione

assorbimento



- due livelli energetici
- se $h\nu \sim E_2 - E_1 \Rightarrow$ l'elettrone può assorbire il fotone (quindi un quanto di energia) e può fare il salto al livello più alto (transizione coassorbitiva)
- visone ondulatoria: elettrone rimane nella stessa posizione (tra da $3p \rightarrow 5p$) ma cambia la sua funzione d'onda, la sua energia (non da vedere come una transizione nello spazio)
- $h\nu$ deve essere risonante con l'energia necessaria per il salto (frequenza di Rabi)

emissione spontanea



- avviene in modo casuale (Fermi golden rule)
- cede l'energia in eccesso sotto forma di un fotone
- l'elettrone vibrando a una certa freq. emette un fotone (d'intensità per i LED)

emissione stimolata



- il fotone incidente induce il salto a un livello più basso
- il fotone emesso è coerente col primo. Avrà la stessa $\nu, k, \text{polarizzaz.}$, e
- radiaz. EM risuona con la transiz. dell'elettrone. Il campo EM stimola l'elettrone che continua a vibrare e rende energia che va ceduta al campo EM che acquista ampiezza/intensità \Rightarrow acquista fotoni

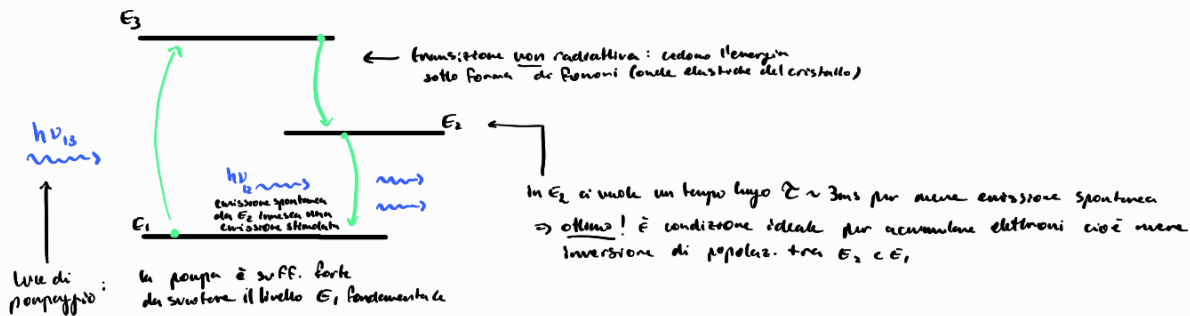
(d'intensità per i LASER)

\hookrightarrow inversione di popolazione, condizione per amplificare la luce

$\Rightarrow N_2 \gg N_1$ (densità di elettroni): implica un diseguilibrio termodinamico. Normalmente l'energia più bassa è privilegiata.

\Rightarrow ci serve qualcosa per tenere gli elettroni ad alto livello. Non spendere energia per il proseguimento da E_1 a E_2

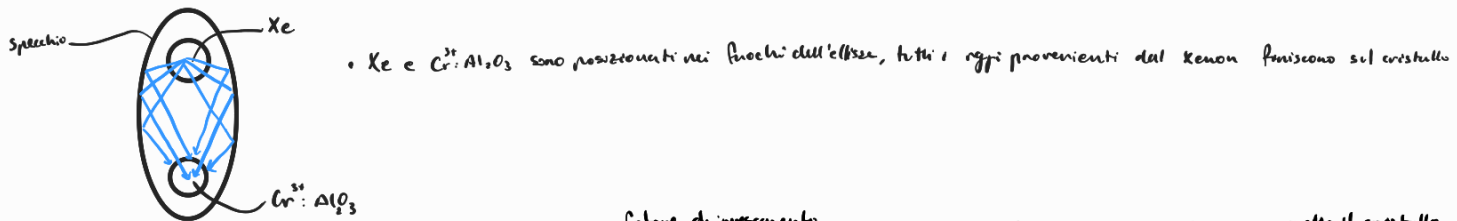
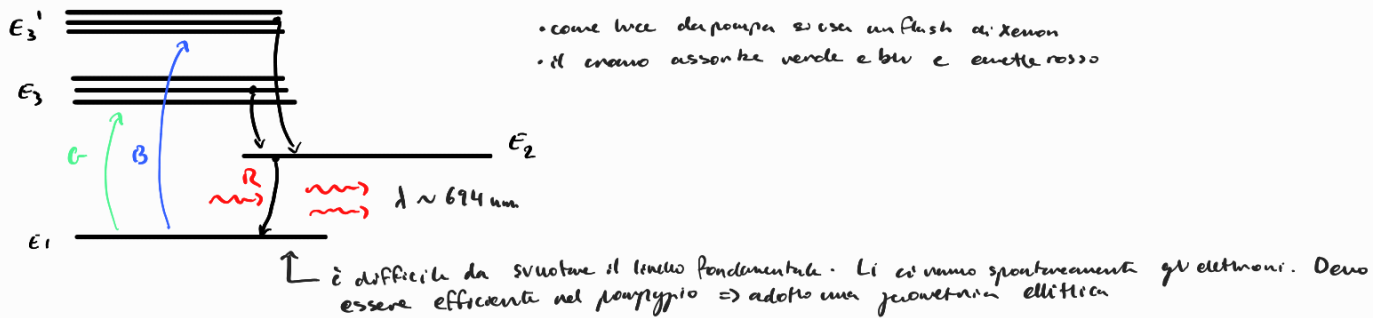
• 2 stati non bastano. Ho il meccanismo di emissione stimolata in conflitto con quello di assorbimento, si raggiungerebbe un equilibrio \Rightarrow il n° min. di livelli per far funzionare i laser è pari a 3



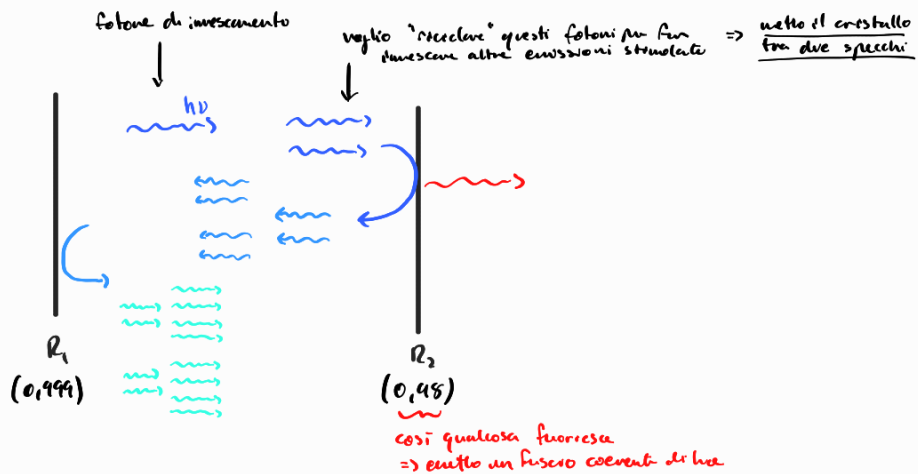
Haiman (1960)

$\text{Cr}^{3+}: \text{Al}_2\text{O}_3$ laser a rubino

drogato xenon: è lui che dà le prop. ottiche

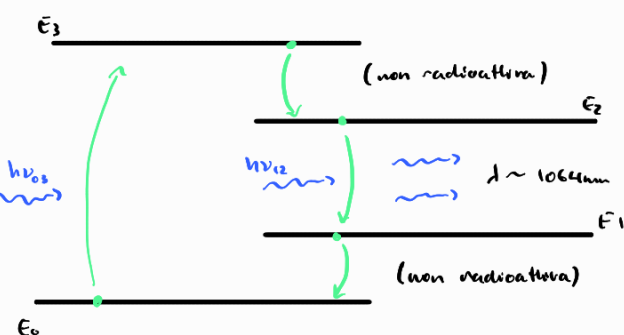


seconda importante condizione: cavità
(oltre all'inversione di popolaz.)



Laser a 4 livelli

$\text{Nd}^{3+}: \text{YAG}$ ($\text{Y}_3\text{Al}_5\text{O}_{11}$)



- inversione di popolaz. fra E_1 e E_2
- è molto più facile svuotare E_1 che E_0 . Lo stato E_0 dunque non deve essere vuoto
- può essere anche operato in continuo (CW). Il rubino non può funzionare in continuo, dispone troppa energia per svuotare lo stato fondamentale, deve usare la pumpa in regime impulsivo

laser He-Ne

He:

1s

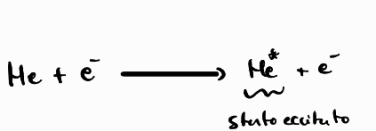
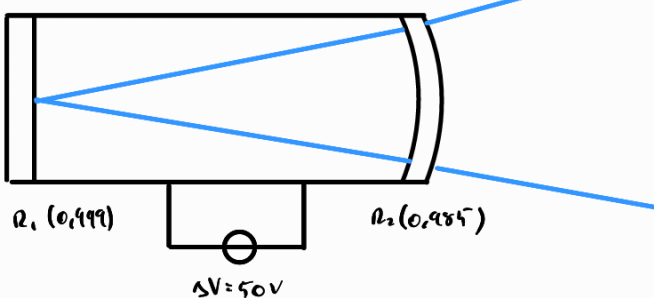
($1s^2$)

Ne:

2s
 1s

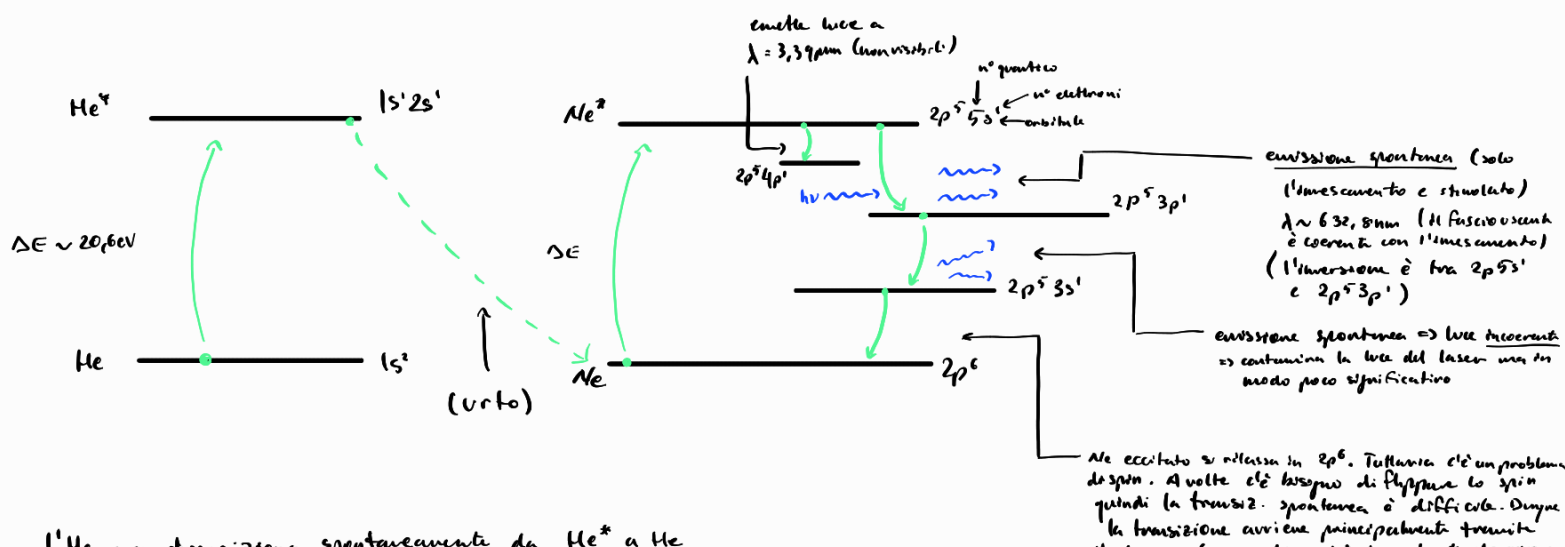
($1s^2\ 2s^2\ 2p^6$)

specchio parabolico con fuoco nell'altro specchio per collimare i raggi



2s'
 1s'

(gli elettroni che eccitano l'elio sono forniti dal gen. di tensione)



- l'He non transiziona spontaneamente da He^* a He \Rightarrow per la transizione radioattiva scrive : $\alpha\ell = \pm 1$

$t=0$

2s'
 1s'

$\ell=0$ quindi $2s' \rightarrow 1s'$ non è possibile (dall'elio s ad s)

(tuttavia per esempio da $s \rightarrow p$ va bene)

- $2p^54p'$ in competizione con $2p^53p'$ \Rightarrow come privilegiano lo stato $2p^53p'$?

\hookrightarrow uso specchi che sono trasparenti per $\lambda = 3.39 \mu\text{m}$

• 1,3 mbars

• 10 atomi di He l'atomo di Neon $\Rightarrow \text{He:Ne} = 10:1$

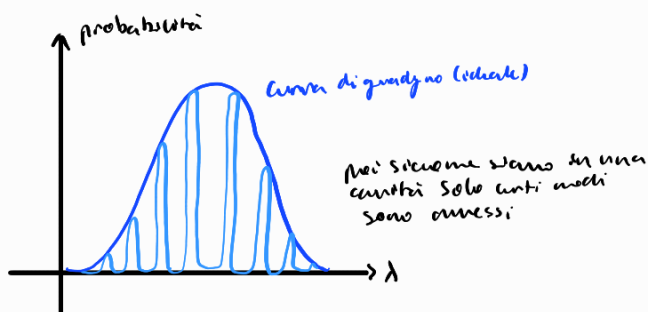
• Il meccanismo laser avviene fra i livelli di Neon

\Rightarrow rendo il laser stretto per aumentare frequenza/probabilità di urti

Ne eccitato si rilassa in $2p^6$. Tuttavia c'è un problema: a volte c'è bisogno di spingere lo spin quindi la transiz. spontanea è difficile. Dunque la transiz. avviene principalmente tramite l'urto con le pareti, ed è importante che avvenga per aggredire $2p^6$

effetto Döppler

- $\xrightarrow{\text{wavy line}} v, T$
 - $\rightarrow \xrightarrow{\text{wavy line}} v', T'$
 - $\leftarrow \xrightarrow{\text{wavy line}} v'', T''$
- Le particelle di gas si muovono mentre emettono.



atomo	osservatore
t_0	$t_0 + d/c$
$t_0 + T$	$t_0 + T + \frac{d-vT}{c}$

$v = \frac{1}{T}$ frequenza con cui viene emessa la radiaz.

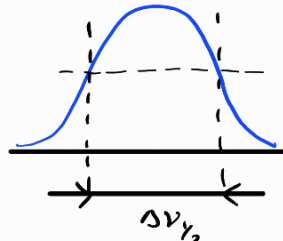
$$\Rightarrow v' = \frac{1}{T - \frac{vT}{c}} = \frac{v}{1 - \frac{v}{c}} \sim \begin{cases} v(1 + \frac{v}{c}) & (\text{se l'atomo si muove verso di me}) \\ v(1 - \frac{v}{c}) & (\text{se l'atomo si allontana}) \end{cases}$$

Motore apparente

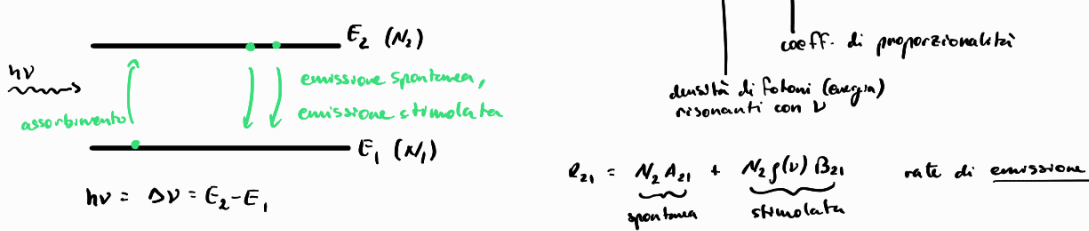
$$\frac{1}{2} m v^2 = \frac{3}{2} kT \Rightarrow v = \sqrt{\frac{3kT}{m}}$$

$$\hookrightarrow \Delta v = 2v \cdot \sqrt{\frac{3kT}{mc^2}}$$

$$\Rightarrow \Delta v_{\gamma_2} = 2v \cdot \sqrt{\frac{2kTm^2}{mc^2}}$$



quadagno



• ci poniamo su una condizione di **equilibrio** per trovare i coeff. (il laser funziona poi non lavora all'equilibrio, necessita di inversione di popolaz.)

$$\hookrightarrow R_{12} = R_{21}$$

$$* \frac{N_2}{N_1} = e^{-\frac{E_2 - E_1}{kT}} = e^{-\frac{hv}{kT}} \quad (\text{statistica di Boltzmann})$$

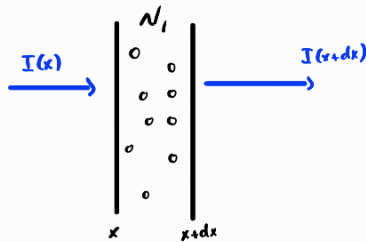
$$* g(v) = \frac{8\pi}{c^3} \cdot v^2 \cdot \frac{hv}{e^{\frac{hv}{kT}} - 1} \quad (\text{teoria di Planck - radiazione del corpo nero})$$

$$\Rightarrow R_{12} = R_{21} \Rightarrow N_1 g(v) B_{12} = N_2 A_{21} + N_2 g(v) \cdot B_{21} \Rightarrow B_{12} = \frac{N_2 A_{21}}{g(v) N_1} + \frac{N_2 B_{21}}{N_1} = \frac{1}{g} \cdot e^{-\frac{hv}{kT}} \cdot A_{21} + e^{-\frac{hv}{kT}} \cdot B_{21}$$

$$= \frac{c^3}{8\pi} \cdot \frac{1}{v^2} \cdot \frac{e^{\frac{hv}{kT}} - 1}{hv} \cdot e^{-\frac{hv}{kT}} \cdot A_{21} + e^{-\frac{hv}{kT}} \cdot B_{21} = \frac{c^3}{8\pi} \cdot \frac{1}{v^2} \cdot \frac{1}{hv} A_{21} - \frac{c^3}{8\pi} \cdot \frac{1}{v^2} \cdot \frac{1}{hv} \cdot A_{21} \cdot e^{-\frac{hv}{kT}} + e^{-\frac{hv}{kT}} \cdot B_{21} = B_{12}$$

$$\Rightarrow \begin{cases} B_{12} = A_{21} \cdot \frac{c^3}{8\pi h v^3} \\ B_{21} = A_{21} \cdot \frac{c^3}{8\pi h v^3} \end{cases} \Rightarrow B_{21} = B_{12} = A_{21} \cdot \frac{c^3}{8\pi h v^3}$$

fuori equilibrio



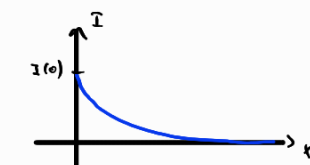
assorbimento :

$$I(x) - \overbrace{I(x) \cdot \Gamma_a \cdot dx}^{\text{termine dovuto all'assorbimento}} = I(x+dx)$$

↑
SPAZIO
sez. aberto [cm^2]

$$\Rightarrow \frac{I(x+dx) - I(x)}{dx} = -I(x) \cdot N_1 \cdot \Gamma_a$$

$$\Rightarrow -\frac{\partial I}{\partial x} = I(x) \cdot N_1 \cdot \Gamma_a \Rightarrow I(x) = I(0) \cdot e^{-\alpha x} \quad (\text{con } \alpha = N_1 \cdot \Gamma_a)$$

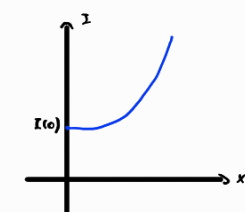


emissione stimolata:

$$I(x) + \underbrace{I(x) N_2 \Gamma_e \cdot dx}_{\text{termine dovuto all'emissione (generalmente } \Gamma_e > \Gamma_a)}$$

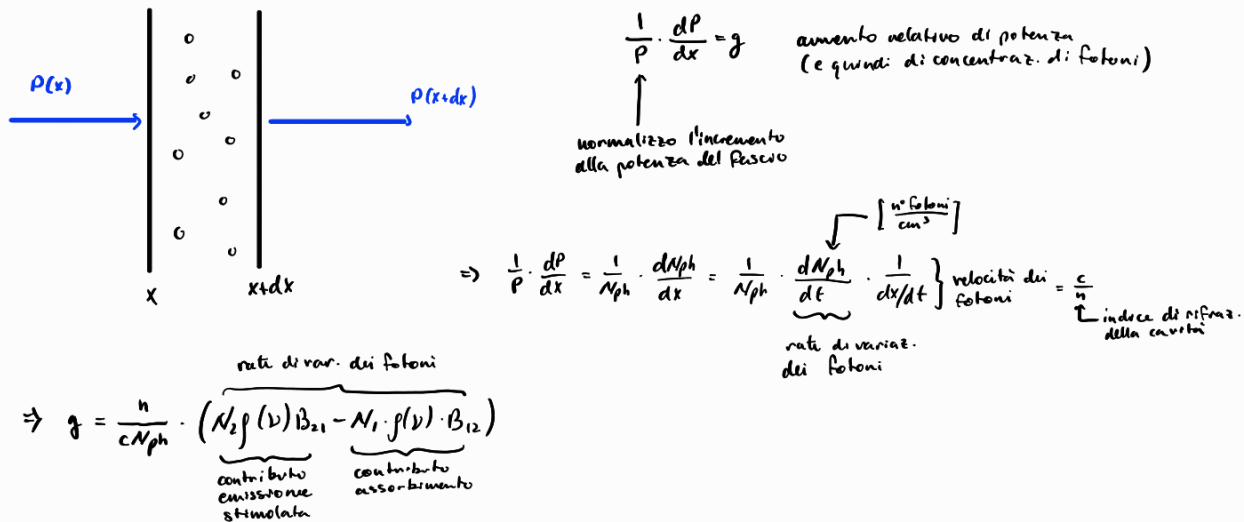
si ricava analogamente al caso dell'assorbimento: $I(x) = I(0) e^{g^1 x}$

$$(\text{con } g^1 = N_2 \cdot \Gamma_e \text{ quadagno})$$



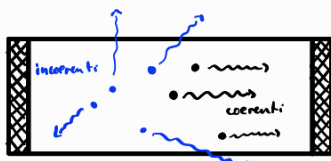
$$\Rightarrow g = g^1 - \alpha = \Gamma_e N_2 - \Gamma_a N_1 \quad \text{guadagno netto}$$

• studiamo ora il bilancio nel tempo (abbiamo appena visto nello spazio)

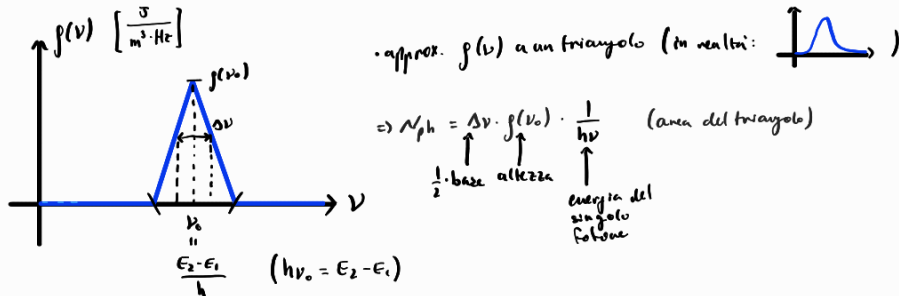


• non considero l'emissione spontanea perché prevale la stimolata se come $N_{ph} \gg N_{ph}|_{\text{equilibrio}}$ quindi ho molti fotoni che innescano l'emissione stimolata,

• inoltre, se includessimo la spontanea, stavamo considerando dei fotoni incoerenti che vengono emessi dalla curta in modo isotropo



$$\Rightarrow B_{12} = B_{21} = A_{21} \cdot \frac{c^3}{8\pi h\nu^3} \Rightarrow g = \frac{n}{cN_{ph}} \cdot A_{21} \cdot \frac{c^3}{8\pi h\nu^3} \cdot f(\nu) \cdot (N_2 - N_1) \quad (\text{all'eq. } N_2 = N_1 = \phi \Rightarrow g = g')$$



$$R_{21} = A_{21} \cdot N_2 = \frac{N_0}{T_{sp}} \Rightarrow A_{21} = \frac{1}{T_{sp}}$$

(contributo emissione spontanea)

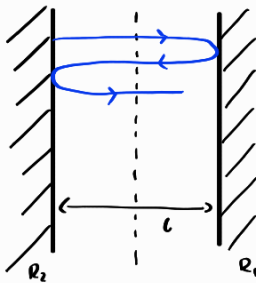
tempo di "decadimento" per l'emissione spontanea

pompaaggio

$$\hookrightarrow g = \frac{n}{cN_{ph}} \cdot A_{21} \cdot \frac{c^3}{8\pi h\nu^3} \cdot f(\nu) \cdot (N_2 - N_1) = \overbrace{(N_2 - N_1)}^{\left[\begin{array}{l} N_{ph} = \Delta v \cdot f(\nu) \cdot \frac{1}{hv} \\ \Rightarrow \frac{f(\nu)}{N_{ph}} = \frac{hv}{\Delta v} \end{array} \right]} \cdot \frac{c^2 \cdot hv}{n^2 \cdot 8\pi h\nu^3 \cdot \Delta v \cdot T_{sp}}$$

$$\Rightarrow g = (N_2 - N_1) \frac{c^2}{8\pi n^2 \nu^2 \Delta v T_{sp}}$$

guadagno a soglia



$$P_f = P_i \cdot e^{g^2 L} \cdot e^{-\alpha_s \cdot 2L} \cdot R_1 \cdot R_2$$

↑
non contiene l'assorbimento
della transizione laserata

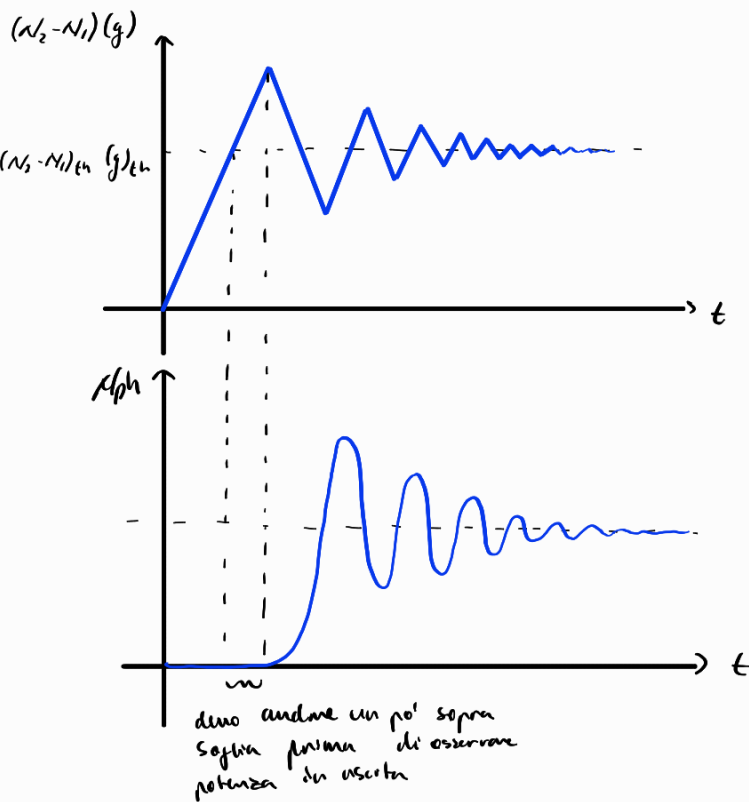
guadagno scattering perdite dovute
agli specchi

condizione minima di soglia di accensione del laser: $P_f = P_i \Rightarrow P_f = P_i / e^{g^2 L} \cdot e^{-\alpha_s \cdot 2L} \cdot R_1 \cdot R_2 \Rightarrow e^{g^2 L} = e^{\alpha_s \cdot 2L} \cdot \frac{1}{R_1 \cdot R_2}$

$$\Rightarrow e^{g_{th}^2 \cdot 2L} = e^{\alpha_s \cdot 2L} \cdot \frac{1}{R_1 \cdot R_2} \Rightarrow g_{th}^2 \cdot 2L = \alpha_s \cdot 2L - \ln(R_1 \cdot R_2)$$

$$\Rightarrow g_{th} = \alpha_s - \frac{1}{2L} \cdot \ln(R_1 \cdot R_2) = \alpha_t \quad \text{total loss}$$

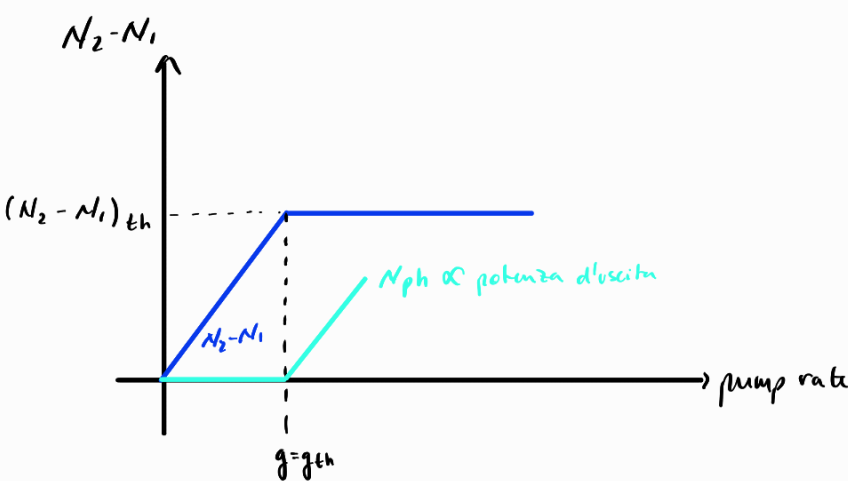
$$\Rightarrow (N_2 - N_1)_{th} = \frac{8\pi h^2 v^2 \Delta V \cdot \tau_{sp}}{c^2} \cdot g_{th} \quad \text{dove } g_{th} \text{ è dato dal total loss}$$

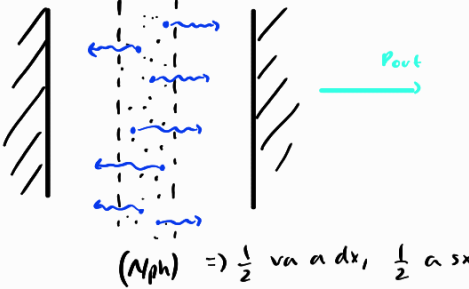


- l'aumento di N_{ph} imponeisce lo stato alto N_2 fino a prevalere sulla pumpa $\Rightarrow (N_2 - N_1)$ decresce
- però se decresce sotto soglia, N_{ph} scende e la pumpa risale $\Rightarrow (N_2 - N_1)$ cresce

L, i due processi si ripetono fino ad arrestarsi ad un eq.

\Rightarrow la pumpa serve solo al transito iniziale





$$P_{out} = \underbrace{\frac{1}{2} \cdot N_{ph}}_{\text{flusso}} \cdot \underbrace{\frac{c}{n}}_{\text{energia}} \cdot h\nu \cdot A \cdot (1 - R_1) \propto N_{ph}$$

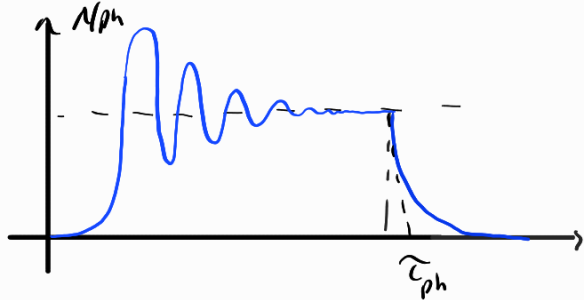
energia area della cavità

Lifetime della cavità

- spego la pompa: N_{ph} e ϕ diminuiscono a ϕ dopo un certo tempo
- i fotoni continueranno a propagarsi nella cavità ma percorrerà l'assorbimento

$$\phi(t) - \phi(t) \cdot dt \cdot \alpha_L \cdot 2L \cdot \frac{1}{2L/c} = \phi(t+dt)$$

$$\Rightarrow \frac{d\phi}{dt} = -\phi(t) \cdot \frac{2L \cdot \alpha_L}{3L \cdot c}$$



$$\phi(t) - \phi(t) \cdot \alpha_L \cdot 2L \cdot dt \cdot \frac{1}{2L/c} = \phi(t+dt)$$

tempo per percorrere un tragitto di $2L$

$$\begin{aligned} \frac{d\phi_{ph}}{dt} &= -\frac{\phi_{ph} \cdot 2L \alpha_L}{2L \cdot \frac{n}{c} \cdot \frac{m}{s} \cdot m^{-1}} \\ &= -\frac{\phi_{ph}}{\tau_{ph}} \end{aligned}$$

flusso fotonicco che percorre $2L$

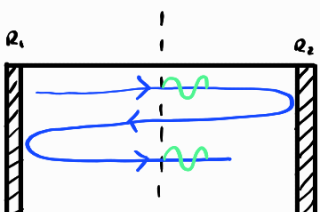
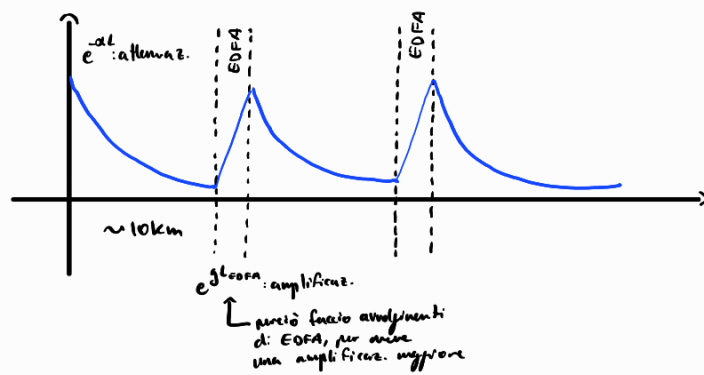
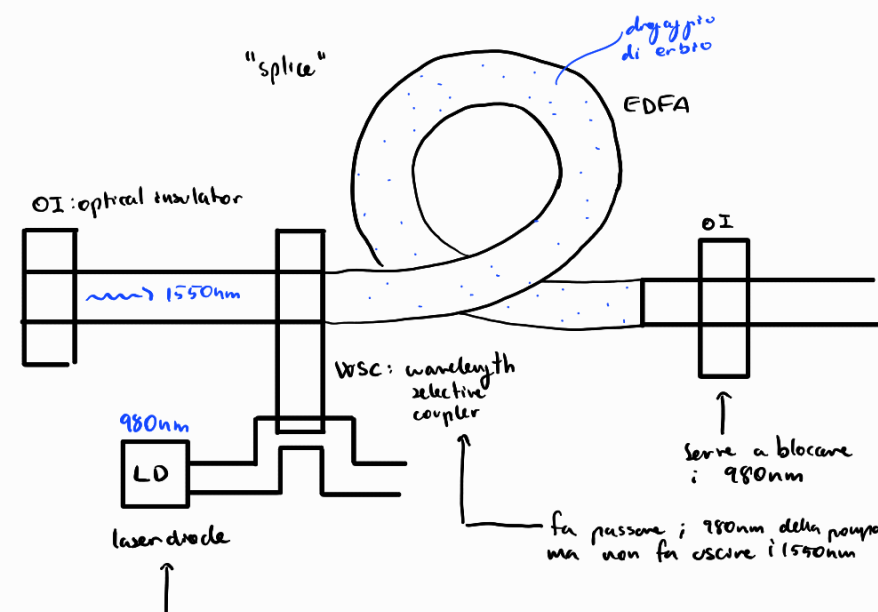
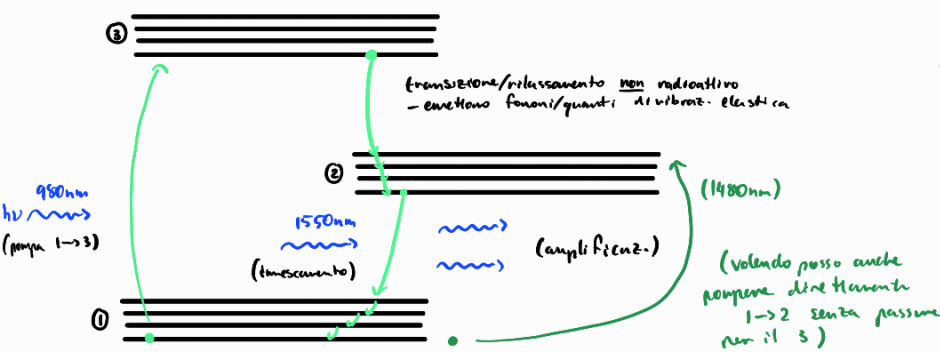
con $\tau_{ph} = \frac{n}{c \alpha_L}$

erbium doped fiber amplifier (EDFA)

Er^{3+} : SiO_2 ; Al_2O_3

• usiamo l'erbio proprio perché emette fotoni a 1550nm, cioè
λ E.c. la dispersione minima

$$\cdot j = \sigma_0 N_2 - \sigma_0 N_1 > 0$$



le 2 onde si devono sommare in fase

$$\Rightarrow K \cdot 2L = m \cdot 2\pi \quad m = 1, 2, \dots$$

$$\Rightarrow \frac{2\pi}{\lambda} \cdot n \cdot 2L = m \cdot 2\pi \Rightarrow L = m \frac{\lambda}{2n}$$

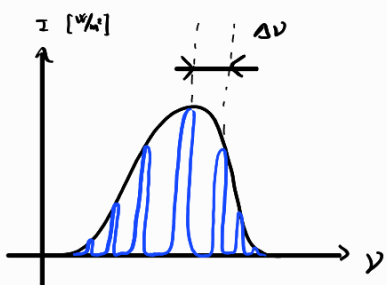
L indice di rifrazione

$$\Rightarrow V_m = m \frac{c}{2L \cdot n} \quad \text{modi ammessi}$$

$$L = m \cdot \frac{\lambda}{2n} \Rightarrow m = 2n \cdot \frac{L}{\lambda}$$

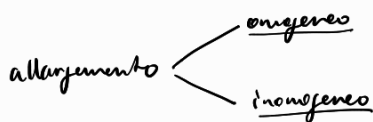
$\sim 0,5\text{cm}$
 $\sim 500\text{nm}$

$\Rightarrow m \sim 10^6$

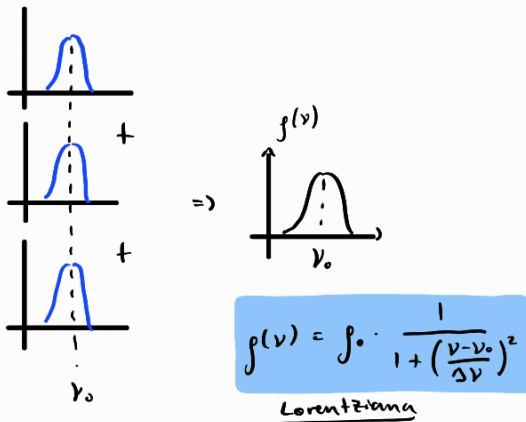


FSR: free spectral range

allargamento del laser

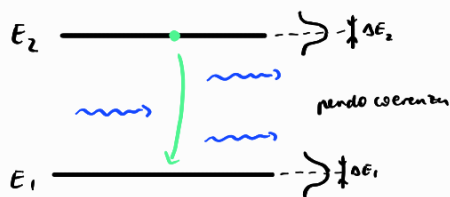


Omogeneo



- ogni atomo l'aveva alla stessa freq. ma ogni atomo ha un certo allargamento

* allargamento omogeneo naturale



$$\Delta E_{21} \sim \sqrt{\Delta E_1^2 + \Delta E_2^2}$$

$$\Delta E_{21} = h \cdot \Delta V$$

energia dello stato
 \downarrow
 $\Delta E \cdot \Delta t \gg \hbar/2$ (è un altro modo di vedere il principio di indet. di Heisenberg)
 vita media di uno stato

solo se $\Delta t \rightarrow \infty$, $\Delta E \rightarrow 0$ ma $\Delta V \rightarrow \infty$

i livelli sono stati metastabili, prima o poi: fotoni decadono spontaneamente $\Rightarrow \tau_{sp}$ tempo medio di rilassamento spontaneo

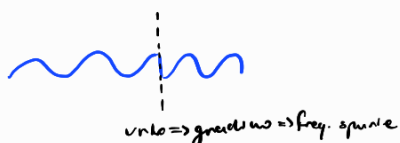
$$\Rightarrow \Delta E \gg \frac{1}{\tau_{sp}} \cdot \hbar/2$$

$$\Rightarrow \Delta E_{21} = h \Delta V \Rightarrow \Delta V = \frac{\Delta E_{21}}{h} \sim \frac{1}{\tau_{sp}}$$

$$\Rightarrow \Delta V \sim \frac{1}{\tau_{sp}}$$

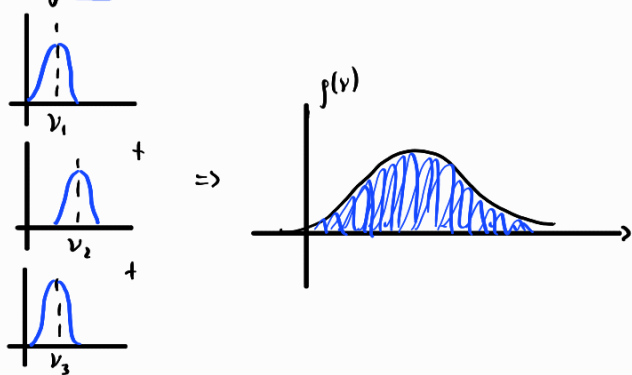
* collisionale

$\hbar \omega_{co}$ (fonone) \Rightarrow disturba la radiaz. \Rightarrow perdita di coerenza



(o avendo come uno smorzamento)

inomogeneo



$$f(v) = f_0 e^{-\frac{(v-v_0)^2}{2\sigma^2}}$$

Crescenza

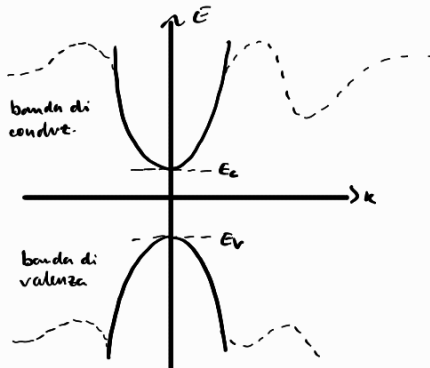
* doppler (new gas)

* disordine (verso soluti)

e.s. Cr^{3+} : Al_2O_3

ciascun atomo di crono si lega in modo diverso con gli atomi adiacenti
 ↳ ciascun atomo di crono inseriti dei suoi dintorni ⇒ quei atomi faranno a legg. diversa

semiconduttori



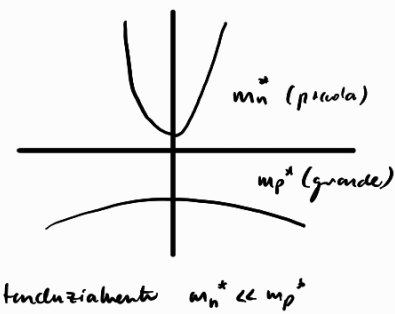
• appross. parabolica (\Rightarrow sviluppo di Taylor al II° ordine nell'intorno del minimo)

$$E = E_c + \frac{p^2}{2m} = E_c + \frac{(\hbar k)^2}{2m_n^*}$$

↑ massa eff. dell'elettrone: tiene conto del fatto che l'elettrone non è totalmente libero
 (descrive quanto è stretta la parabola)

$$E = E_v - \frac{(\hbar k)^2}{2m_p^*}$$

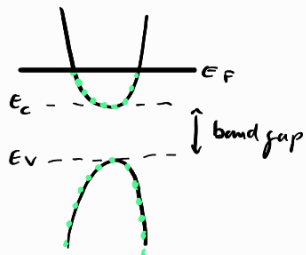
↑ massa eff. della lucina



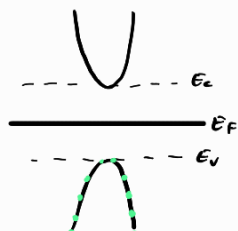
E_F (livello di Fermi): è il più alto livello energetico meno occupato secondo la statistica di Fermi
 \Rightarrow un atomo può a dovere avere pieno le bande

• tendenzialmente $m_n^* \ll m_p^*$

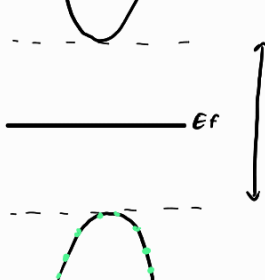
metallo



semiconduttore

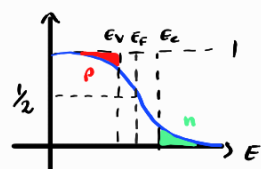


isolante



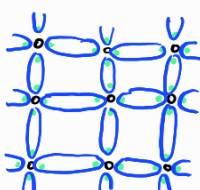
$$(T = \phi k)$$

$$f(E) = \frac{1}{e^{\frac{E-E_F}{kT}} + 1}$$



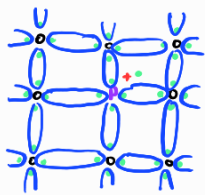
\Rightarrow pur $T \neq \phi k$ all'equilibrio ha un po' di elettroni nella BC e delle lacune nella BV
 $\Rightarrow n = p = n_i = \sqrt{N_e N_h} e^{-\frac{E_F - \mu}{2kT}}$

i-Si (silicio intrinsico)



livelli associati ai legami covalenti

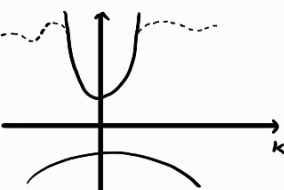
Si estinseco



electroni in eccesso occupano
la banda di conduzione.
(doppio con down)

- l'interaz. Coulombiana tra $+e^-$ è debole \Rightarrow l'enerz. termica a T ambiente è già suff. per liberare l'elettrone
- a temp. più bassa \cdot si lega all'atomo donatore \Rightarrow freezeout (lo inizia ad osservare già a 100K)

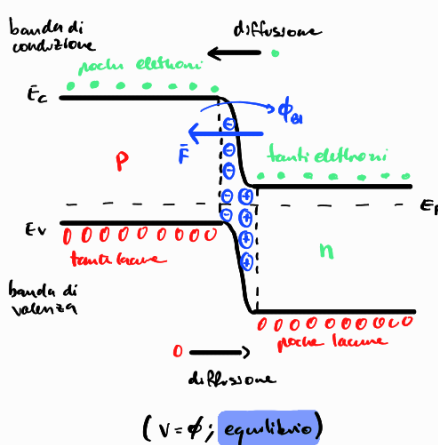
band gap diretto vs. indiretto



LED - light emitting diode

LED a omogeneizzazione

- giunzione con stesso semiconduttore



• i portatori si diffondono (danno \dot{N}_D , a una corrente di diffusione), lasciando scoperchi gli atomi accettori/donatori, creando la zona di carica spaziale che da vita a ϕ_{01}/F che si oppone al moto di diffusione (nasce una corrente di drift) All'eq. Jdrift e Jdiff si bilanciano

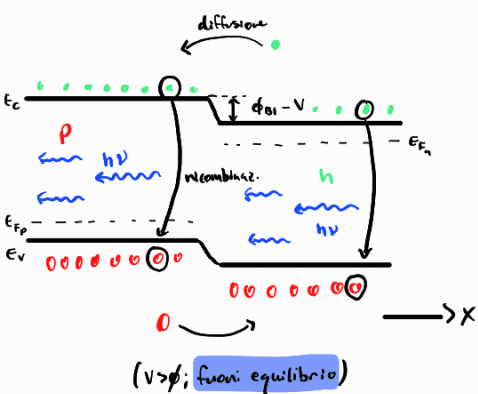
$$n_i = \sqrt{n_c N_V} \cdot e^{-\frac{E_F}{kT}}$$

$n = p = n_i$

$$p = N_V e^{-\frac{E_F - E_V}{kT}} \gg n$$

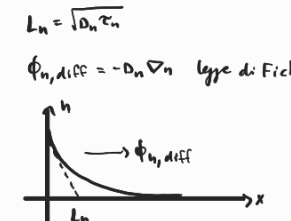
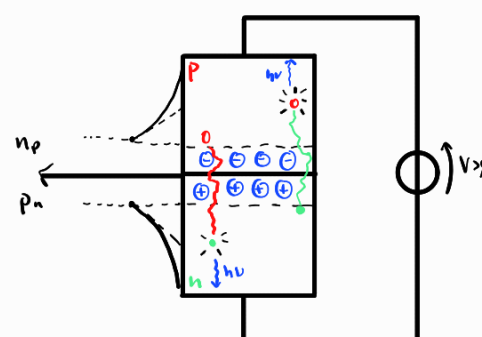
$n = N_D e^{-\frac{E_F - E_{F_D}}{kT}} \gg p$

$$n = N_D$$



• applicando $V > \phi$, abbasso la barriera di potenziale permettendo agli elettroni e lacune di diffondersi.

$$h\nu \sim E_G$$



$$D_n = \mu_n \frac{kT}{q} \quad \text{legge di Einstein}$$

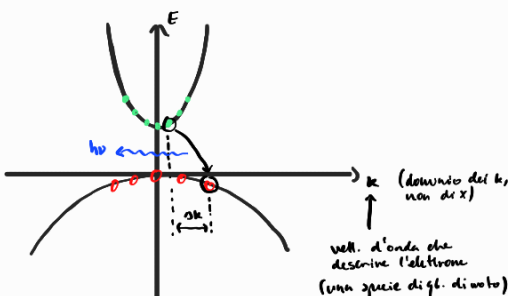
$$[\text{cm}^2/\text{s}] \quad [\text{cm}^2/\text{s} \cdot \text{eV}^{-1}]$$

μ_n : quanto velocemente l'elettrone risponde ad una applicaz. di un campo elettrico

$$J_{n,\text{drift}} = q n \mu_n F$$

il silicio non viene usato per i LED

band gap diretto



$$k_{\text{banda}} (\text{estensione banda}) = \frac{2\pi}{\lambda} \sim 10^{10} \text{ m}^{-1}$$

III	IV	V
B	C	N
Al	Si	P
Ga	Ge	As
In	Sn	Sb

CuP AlAs AlGaAs
InP InSb InGaAs \Rightarrow lunghezza 1550nm

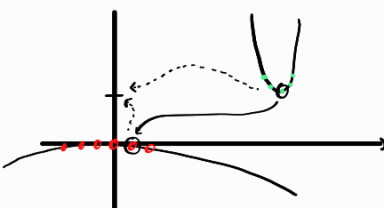
prima della ricomb.
energia: $E_c + E_v + h\nu = E_c + E_v \Rightarrow h\nu = E_c - E_v$

si dicono conservate

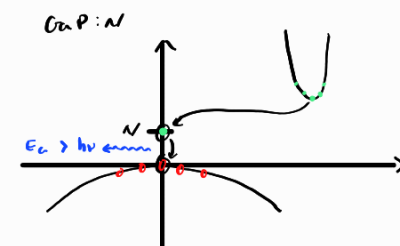
momento

$$\frac{E_c}{E_n} + \frac{E_v}{E_p}$$

band gap indiretto (Si)

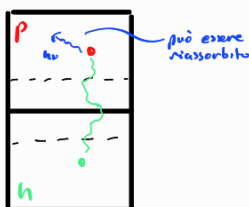


$\hbar k \gg k_F \Rightarrow$ mi serve un'altra partecella che bilanci la conservaz. della q.b. di moto
 L^s intorno. luce, fotone, elettrone, ionone \Rightarrow interaz. n. 4 corpi è molto meno probabile
 passo per uno stato intermedio: Shockley-Reid-Mall recombination \Rightarrow non radioattiva
 per questo non uso Si, è a band gap indiretto

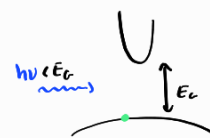


recombinaz. mediante il livello energetico del dopante N
 L^s recombinaz. radioattiva

svantaggi del diodo a giunzione \Rightarrow riassorbimento

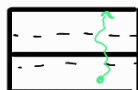


nel caso di p-n : $h\nu < E_V \Rightarrow$ non posso avere riassorbimento perché non ho energia suff. per fare il salto del gap.



(nota: non dà vita ad una emissione spontanea e non innesca un meccanismo laser perché non ha inversione di popolaz.)

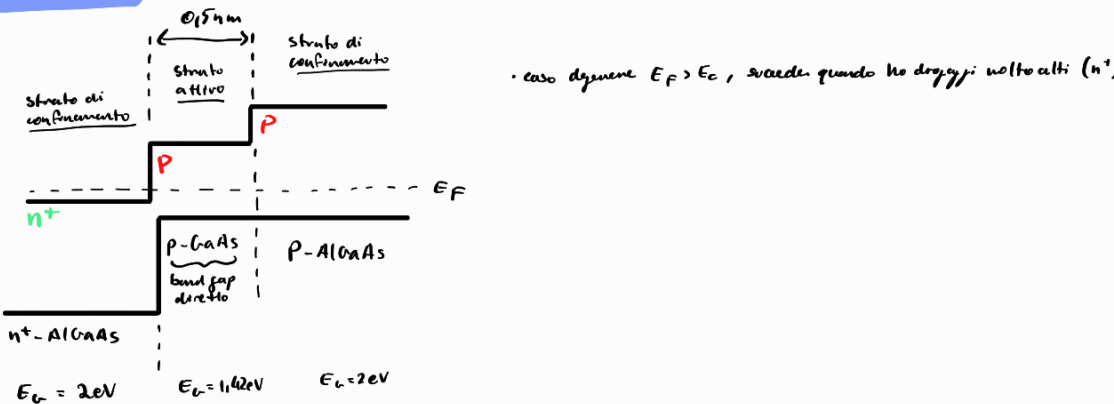
un altro modo che potrei pensare di usare per risolvere il problema del riassorbimento è fare un diodo corto



\Rightarrow ma non devo farlo troppo corto! Rischierei che l'elettrone ci diffonda e si ricombini al centro di ohmico, e che quindi non si ricombini con una luce.

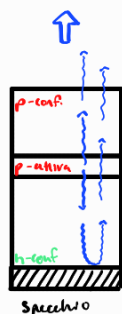
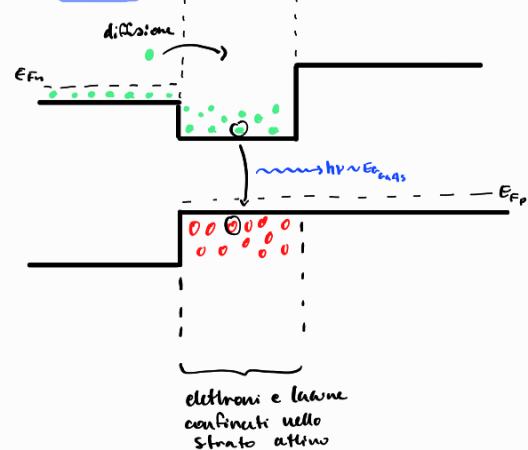
LED eterogenea

($V=0$; equilibrio)



caso degenero $E_F > E_G$, avviene quando ho dopaggi molto alti (n^+)

$(V > \phi_{bi})$



- i cristalli hanno una alta concentraz. di lacune ed elettroni
 - ↳ rate di ricombinaz. \propto concentraz. lacune \times concentraz. elettroni;
 - massimizzare il rate di ricombinaz. \Leftrightarrow contenere il più possibile i portatori
 - ↳ uendo lo strato attivo sottile
- inoltre blocca il rassorbimento perché lo che $h\nu \sim E_{\text{AlGaAs}} \neq E_{\text{AlGaAs}}$

processo industriale per realizzare l'eterostruttura:

Molecular Beam Epitaxy

GaAs
AlGaAs
Wafer/substrato di GaAs

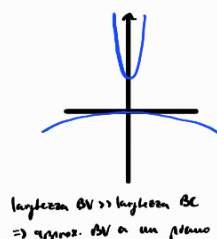
deposito strato per strato, e viene costruito come se fosse un monocristallo

(teoricamente) non ha difetti

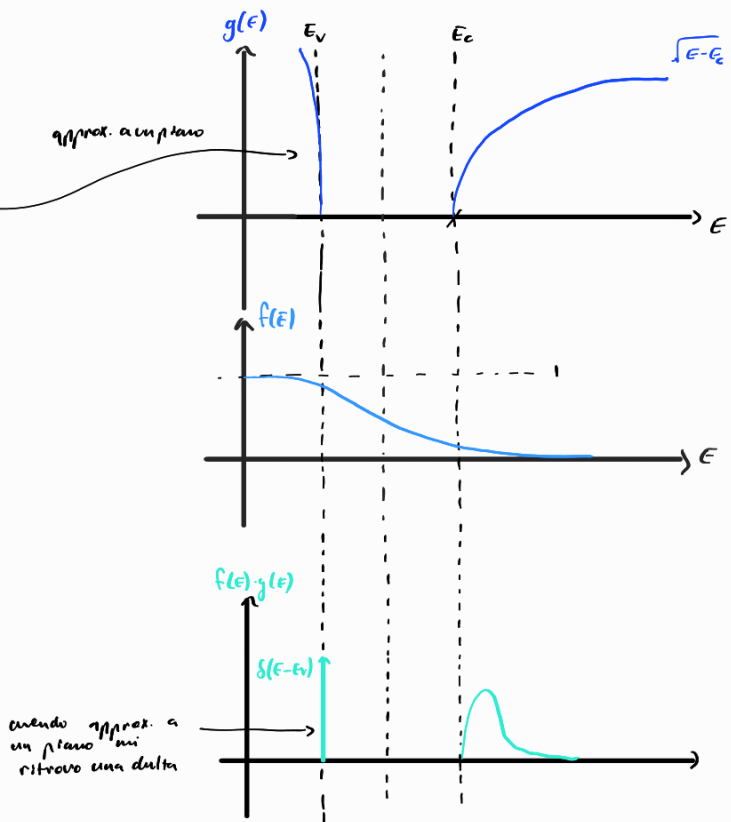
* distribuz. stati $\Rightarrow g(E)$ = densità di stati

* popolaz. stati $\Rightarrow f(E)$ = distribuz. Fermi-Dirac

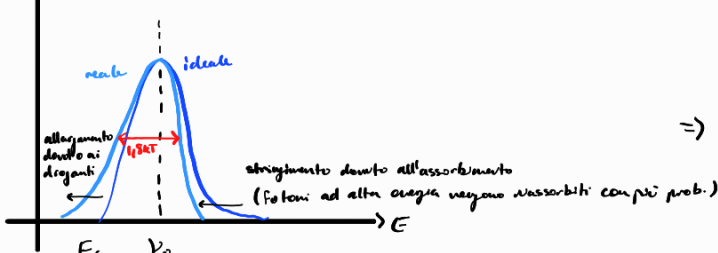
$$\begin{cases} n(E) dE = f(E) g(E) dE \\ \rho(E) dE = [1 - f(E)] g_v(E) dE \end{cases}$$



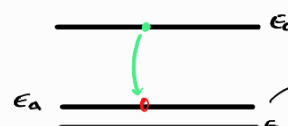
l'argoritmo BV \gg l'argoritmo BC
 \Rightarrow appross. BV su un piano



densità di energia (j)



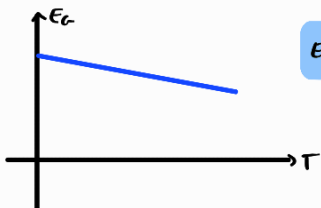
$$\Rightarrow \left\{ \begin{array}{l} h\nu_0 = E_0 + \frac{kT}{2} \\ h\nu_0 = MKT \\ M \approx 3 \end{array} \right.$$



band gap narrowing

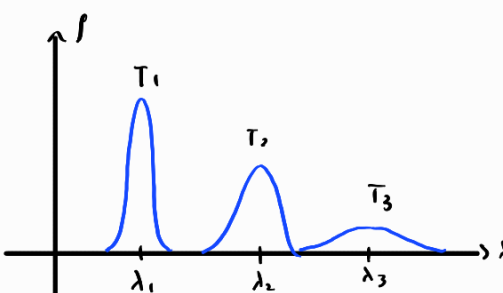
bande di abbondanza drammatiche (quando ho alte concentraz.)

band gap narrowing



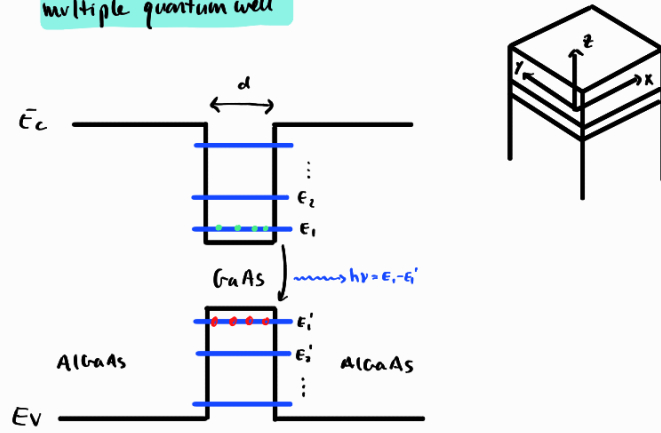
$$E_g(T) = E_{g0} - \frac{AT^2}{T+B}$$

legge di Varshny



- Eg decreases $\Rightarrow h\nu$ decreases $\Rightarrow \lambda$ increases
- allargamento perché FWHM $\propto kT$

multiple quantum well

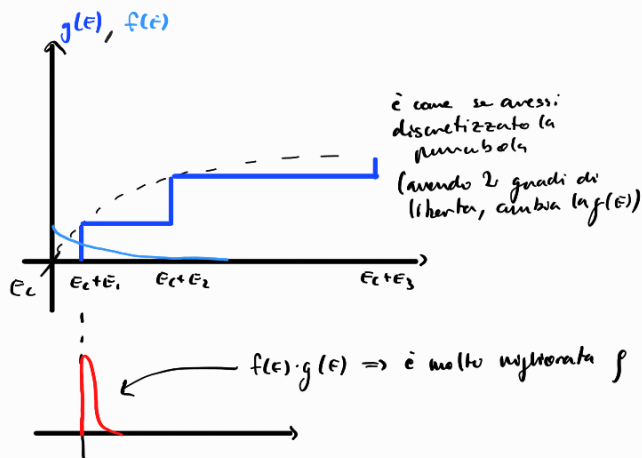


• la quantizzazione degli stati mi associa un grado di libertà (z)

$$\Rightarrow E_n = E_0 + \frac{\hbar^2}{8md^2} n^2 + \frac{k_1^2 k_x^2}{2m_n^*} + \frac{k_1^2 k_y^2}{2m_n^*}$$

energia
bontadi
conduc.
energia
dell'elastico
stato legato.
 $\frac{p_x^2}{2m_n^*}$
" " "
 E_{kx}

- varando d, cambio E_1 e E_1' e quindi posso varicare la lunghezza d'onda d'emissione a piacere



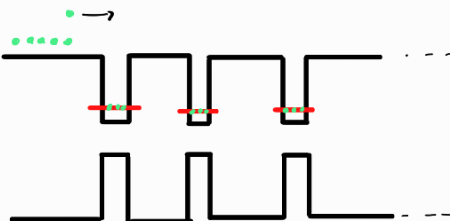
analogo:

$$\Rightarrow E_p = E_v - \frac{\hbar^2}{8md^2} n^2 - \frac{k_1 k_x^2}{2m_p^*} - \frac{k_1 k_y^2}{2m_p^*}$$

- un problema è il flooding del quantum well \Rightarrow velegno popolati E_1, E_2, \dots

↳ sporo l'emissione

una sol. è usare multipli quantum well: a punti di corrente / elettroni invessi, popolo più stati fondamentali senza popolare invece quelli alti



materiali per LED

	III	IV	V
E _c	B	C	N
	Al	Si	P
	Ga	Ge	As
	In	Sn	Sb

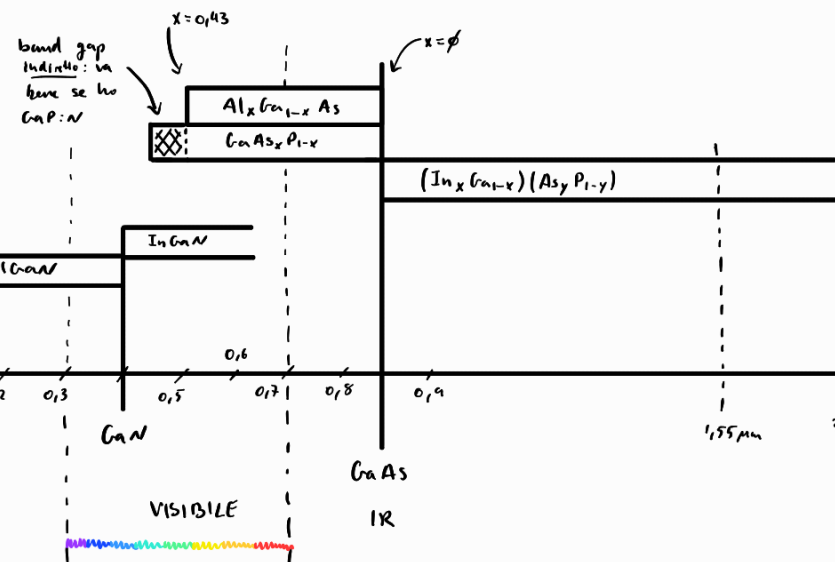
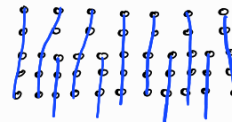
50% gruppo III
50% gruppo IV } si devono alternare nella struttura

$h\nu \sim E_c$ (E_c dipende dal materiale - parametro di progettaz.)

$$E_c (\text{GaAs}) = 1,4 \text{ eV}$$

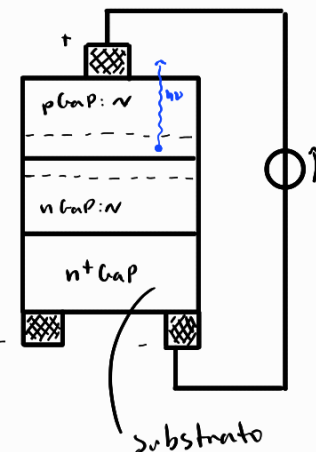
$$E_c (\text{InN}) = 3,4 \text{ eV}$$

- ai passi reticolari, non più del 10% di diff. tra passi reticolari \rightarrow lattice matching
- se non ho lattice matching, si creano difetti \Rightarrow distorsione

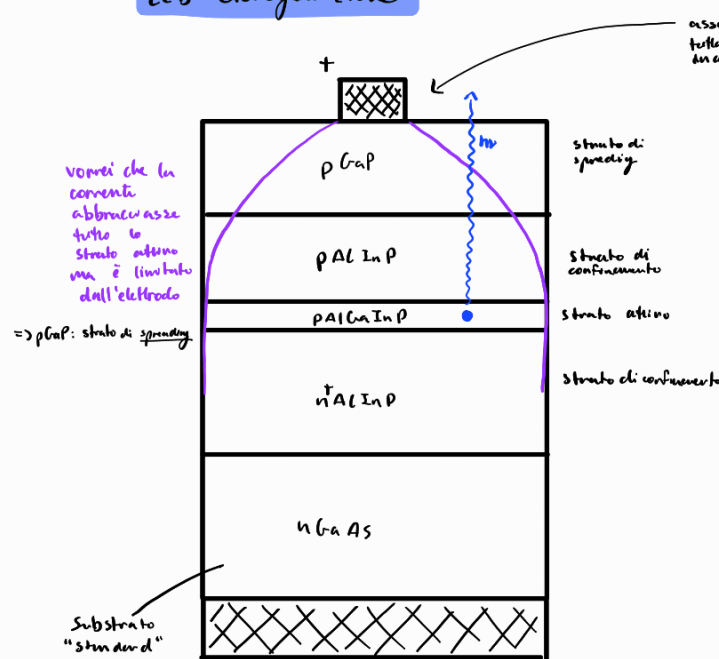


i semiconduttori III - IV hanno questo vantaggio che possono modulare il colore a piacere

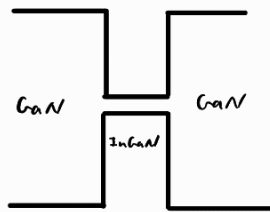
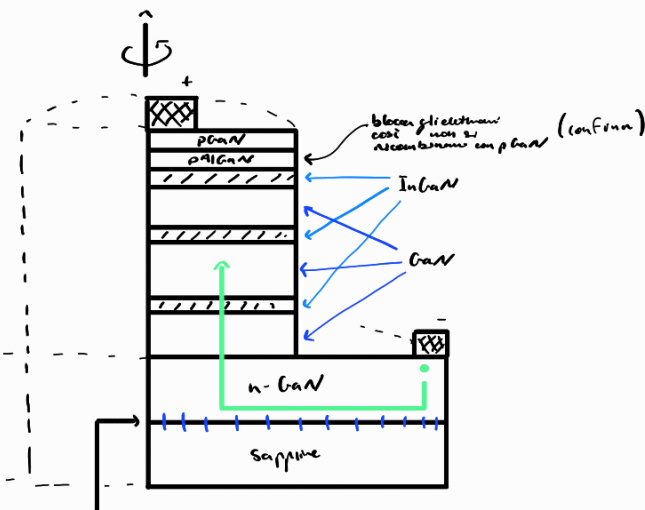
LED emozione



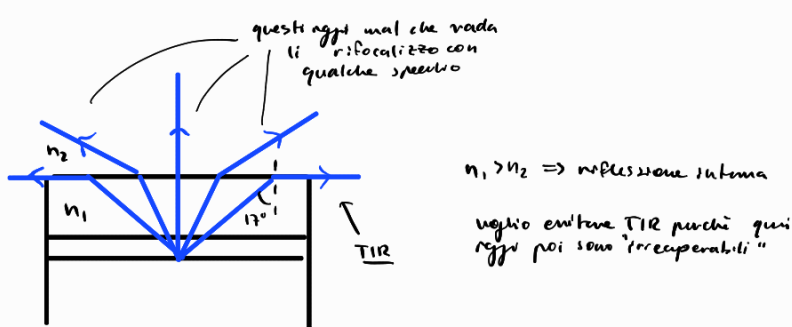
LED eterostruttura



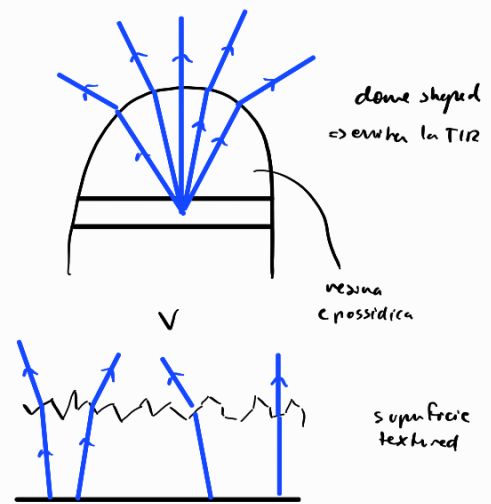
LED a multipe quantum well



tuttavia mismatch $\sim 12\%$
 \Rightarrow non è un problema perché
 sono meno che nello strato, più velo su
 meno vicino dei difetti



si risolve con
 \Rightarrow



efficienza (LED)

efficienza quantica interna

η_{IQE} conteggia la ricombinazione radiorattiva

(anche se poi i fotoni emessi non riescono a contribuire al fascio emesso perché la ricombinazione primaria)

$$\eta_{IQE} = \frac{1/c_r}{1/c_r + 1/c_{nr}}$$

↑
non radiorattiva
cost. di tempo caratteristica per la ricombinazione radiorattiva

$$\Rightarrow \eta_{IQE} = \frac{1/c_r}{1/c_n} \leftarrow \text{ratio totale}$$

$$\Rightarrow \eta_{IQE} = \frac{P_{out}/hv}{I/q}$$

↓
potenza del fascio interno (non viene misurata)
corrente che fornisce

$$\frac{[J_s \cdot V_j]}{[c_s \cdot I_c]} = \frac{n^* \text{ fotoni}/\text{unità di tempo}}{n^* \text{ elettroni}/\text{unità di tempo}} = \frac{n^* \text{ fotoni}}{n^* \text{ elettroni}}$$

è un rapporto tra quanti

efficienza quantica esterna

$$\eta_{EQE} = \sqrt{\frac{P_{out}/hv}{I/q}}$$

↑
potenza in uscita
(questa si che la misuro)

tiene conto della potenza che effettivamente fluoresce

efficienza di estrazione:

$$\frac{\eta_{EQE}}{\eta_{IQE}} < 1 \quad \sim 30-40\% \text{ per semiconduttori co band gap } \underline{\text{diretto}}$$

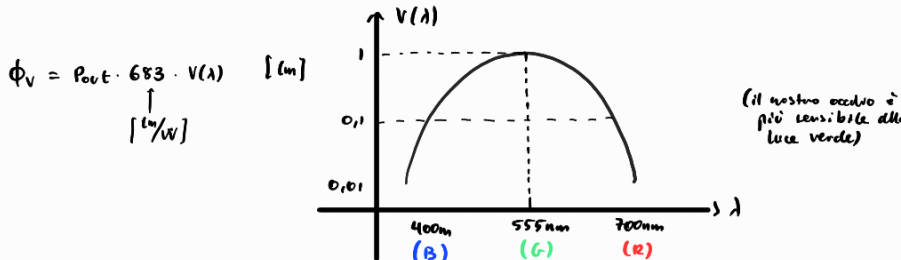
(≈ 1% per band gap indiretto)

power conversion efficiency

conversione da potenza elettrica in ingresso a potenza ottica in uscita

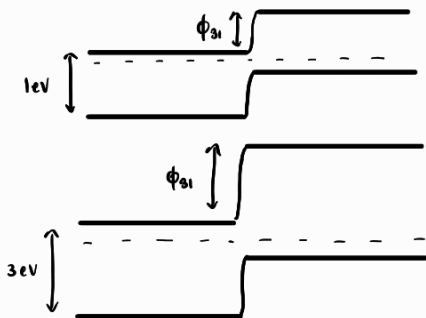
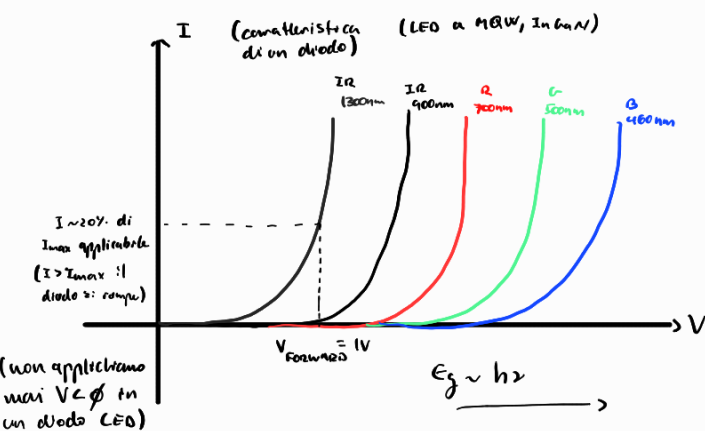
$$\eta_{PCE} = \frac{P_{out}}{\underbrace{I \cdot V}_{P_{int}}} = \eta_{EQE} \cdot \frac{hv}{qV}$$

brillanza visiva: misura della potenza rispetto quanto il nostro occhio percepisce la luce

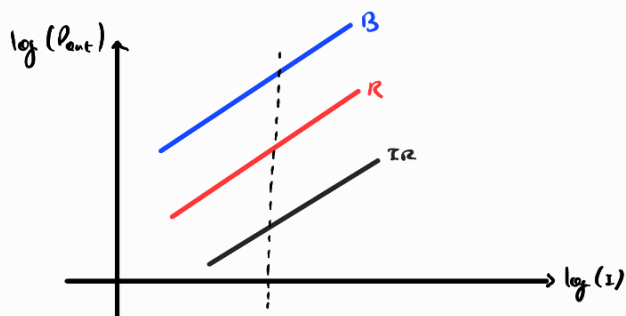


$$\text{efficienza luminosa: } \eta_{LE} = \frac{\Phi_V}{\underbrace{I \cdot V}_{P_{int}}} \quad [\text{lm}/\text{W}]$$

Lampadina con filamento incandescente: 17 lm/W
LED: 100 lm/W



band gap più grandi duplicano tensione di built-in maggiori. Quindi per i piccoli, un semiconduttore ha una tensione di forward maggiore per avere 20% di I_{max} .



a parità di corrente, ho gli stessi fotoni emessi, ma i fotoni del blu hanno maggiore energia (λ minore)

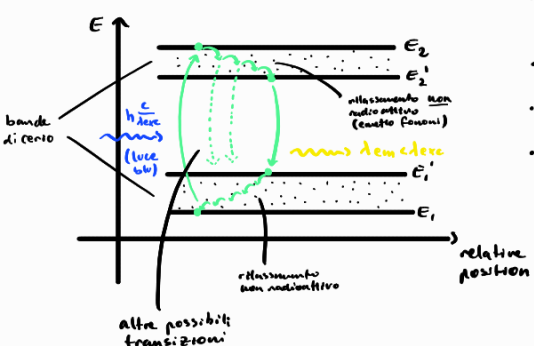
fotoluminescenza

fosfori: sono in grado di dar vita a un red shift

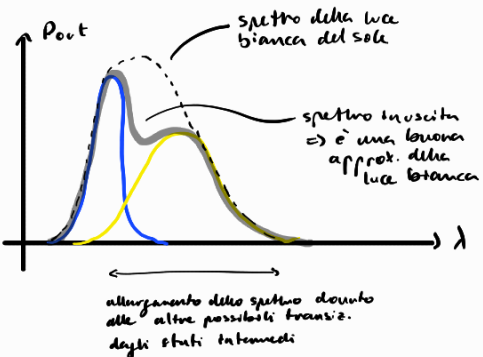
decalogo \rightarrow luce rosso ($\rightarrow \lambda_{exc}$)

red shift
di Stokes

Ce³⁺: YAG - Yttrium Aluminum Garnet ($Y_3Al_5O_8$)



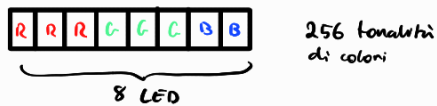
- c'è una "conversione" da luce blu a luce gialla
- luce è risonante con ΔE (per questo si usa Ce³⁺: YAG)
- non tutta la luce incidente viene convertita; la luce blu ha una certa prob. di essere assorbita. Quella che non viene assorbita/convertita viene ritemessa come luce blu



LED bianco

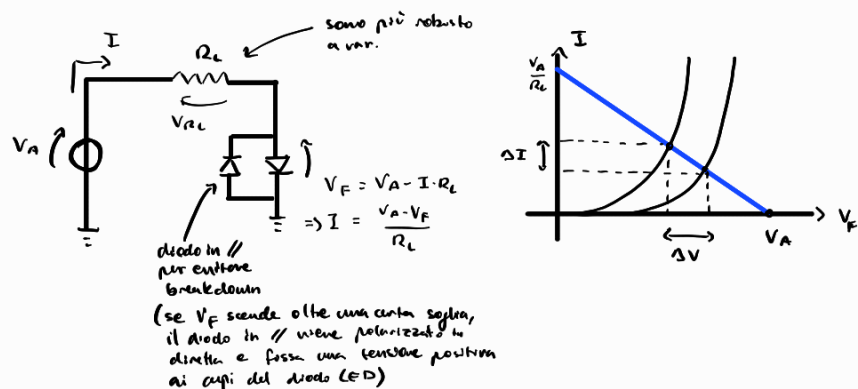


per fare un pixel (picture element) :

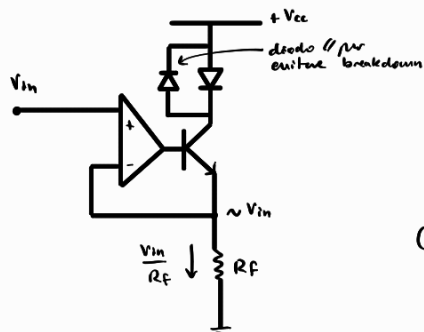


Circuiti per LED

Plotaggio diretto in tensione:



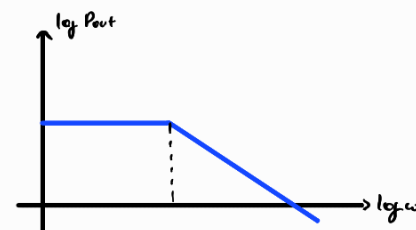
Circuito di polarizzaz. in corrente:



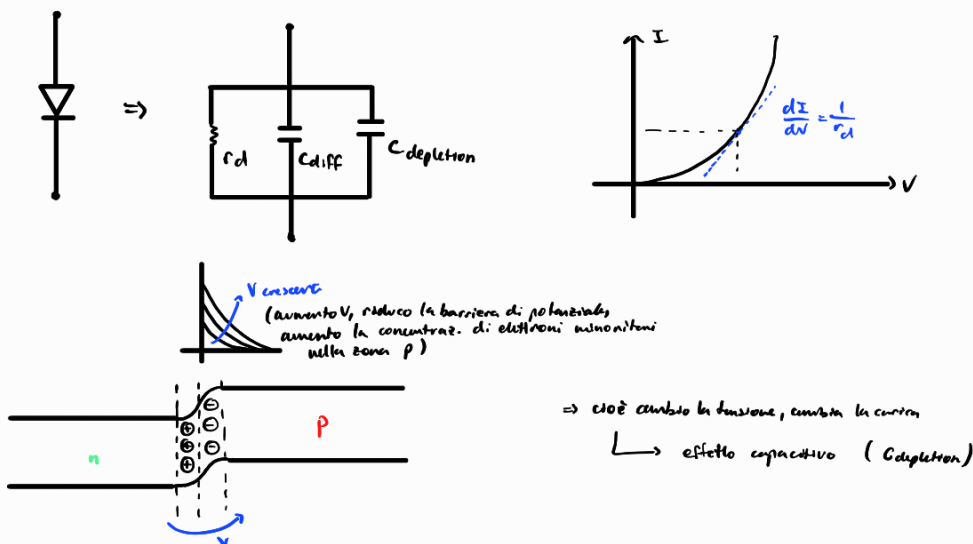
risposta in frequenza:

$$P_{out} = \frac{P_0}{\sqrt{1 + (\omega \cdot \tau)^2}}$$

$$(s = j\omega) \quad \left[|P_{out}| = \frac{|P_0|}{\sqrt{1 + (j\omega \cdot \tau)^2}} \right]$$



- La costante di tempo/polo è donata dalle capacità parassite del diodo LED



- C_{diff} : capacità di diffusione dovuta al tempo di recombinaz. di minoranze inviati nella lunghezza di diffusione

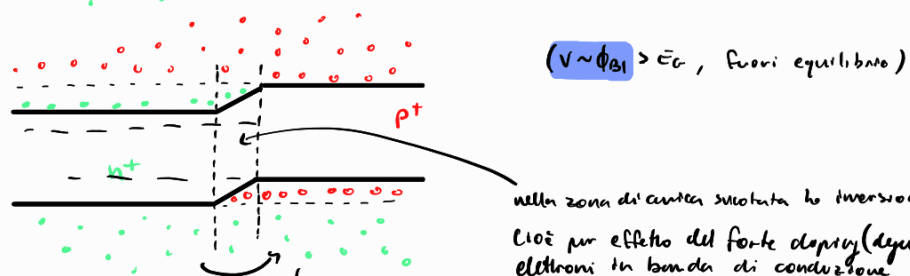
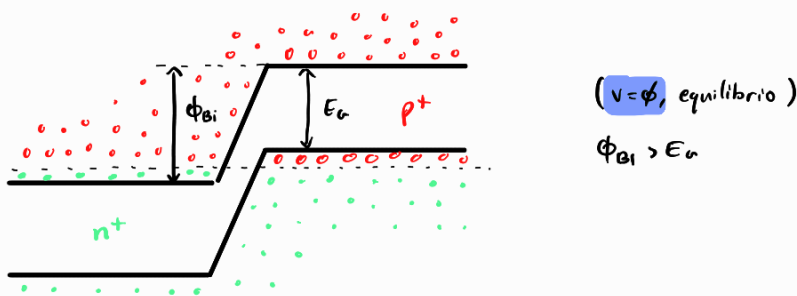
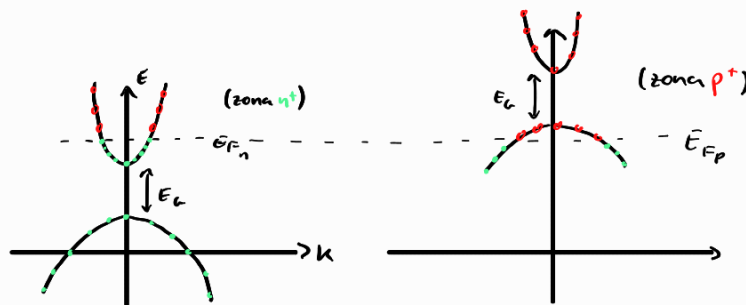
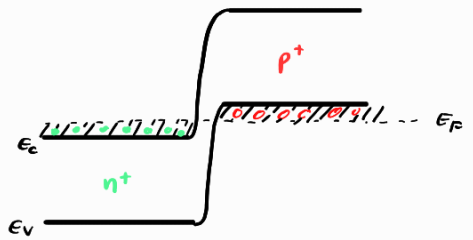
$$C_{diff} \gg C_{dep} \Rightarrow C = r_d \cdot C_{diff} \text{ (coincide con } C_n)$$

diodo laser

(ionizzazione)

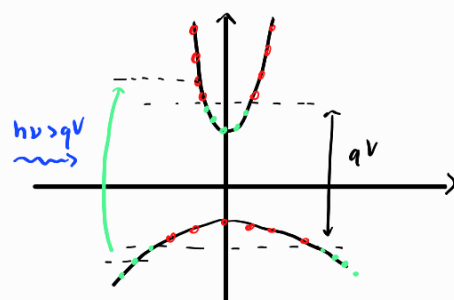
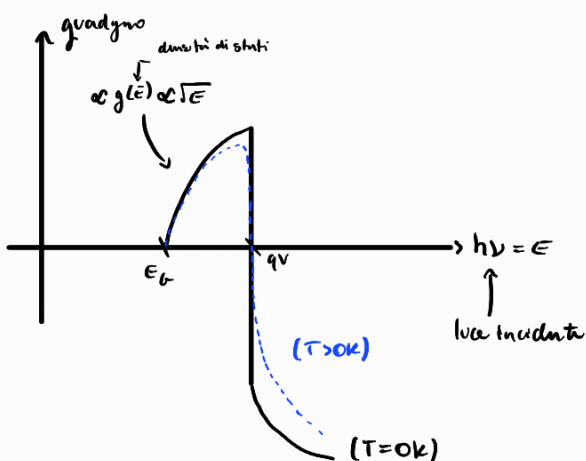
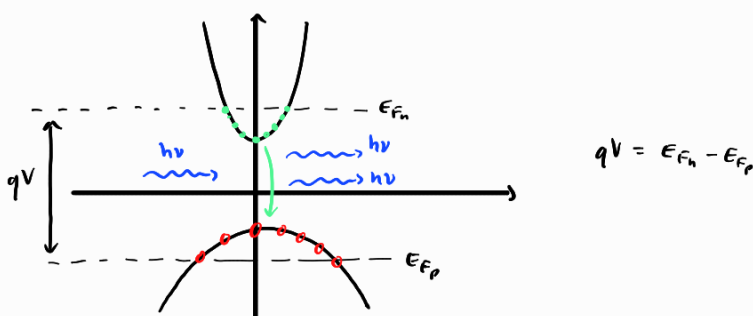
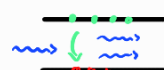
- fondamentalmente è come un LED, ma con i semiconduttori fortemente drogati:

drogaaggio degenero: $N_D, N_A > 10^{20} \text{ cm}^{-3} \Rightarrow$ livello di Fermi entra in banda

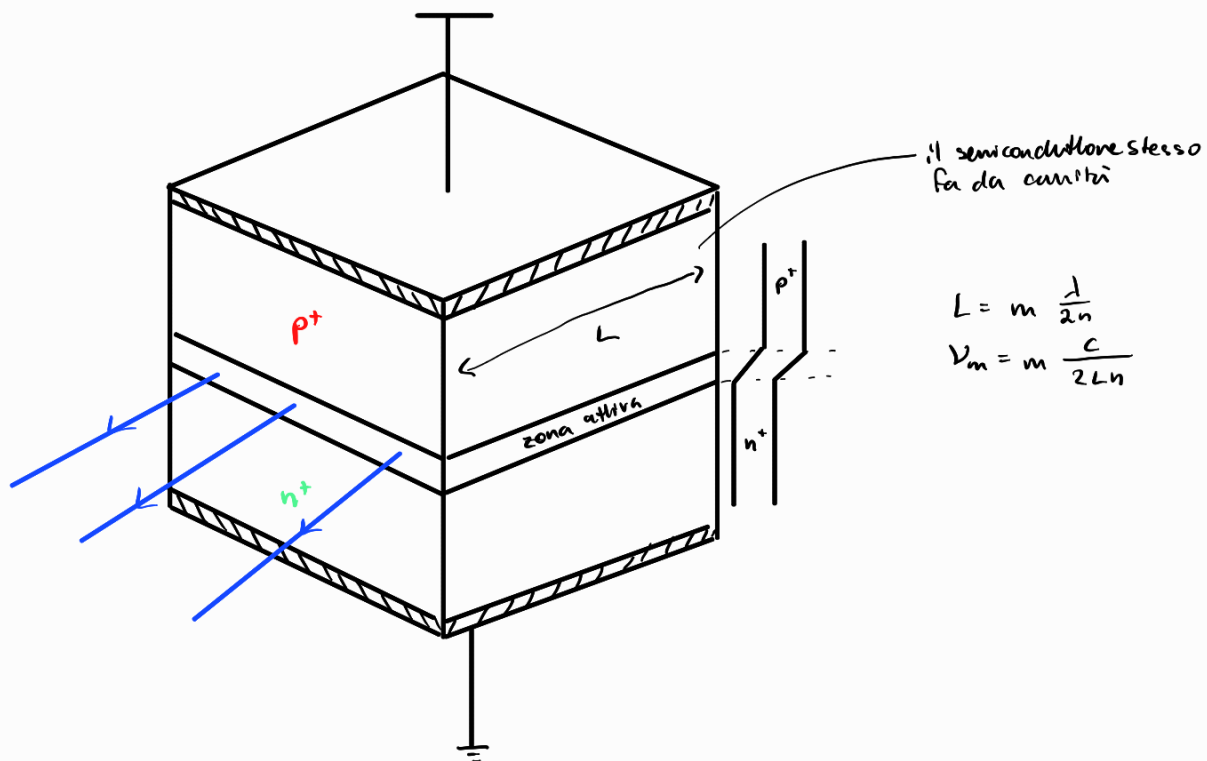


nella zona del centro si ottiene la inversione di popolazione!

Cioè per effetto del forte dopaggio (degenero) ci sono più elettroni in banda di conduzione che in banda di valenza (ha tanti elettroni a livelli energetici alti, come nei laser)



se $h\nu > qV$ non posso avere emissione spontanea.
 Avrò che gli elettroni in banda di valenza assorbi rumore per andare in banda di conduzione.

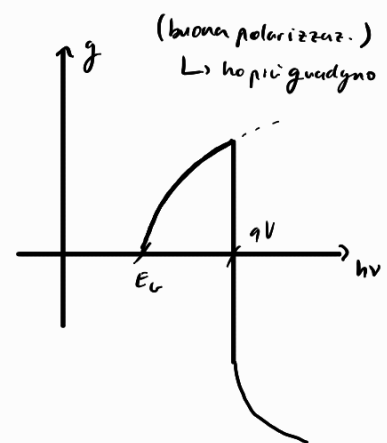
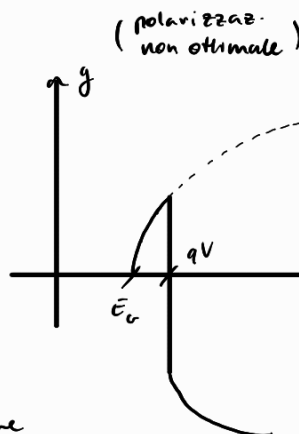


diodo laser (requisiti):

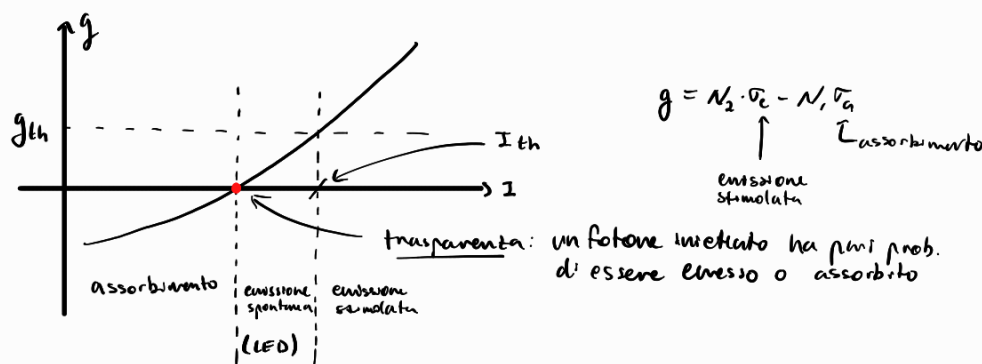
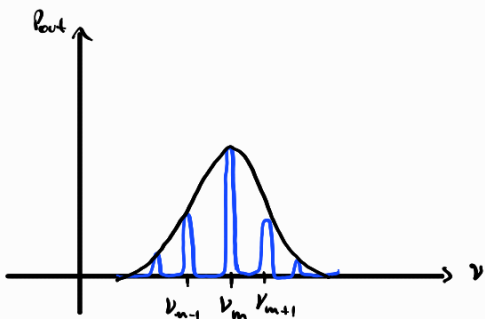
- 1) dicroaggio forte
- 2) curva
- 3) $qV > E_g$

guadagno
attenuaz.

$$e^{2L(g-\alpha_s)} \cdot R_1 \cdot R_2 = 1 \quad (\text{caso limite per avere pot. iniz. = pot. finale})$$



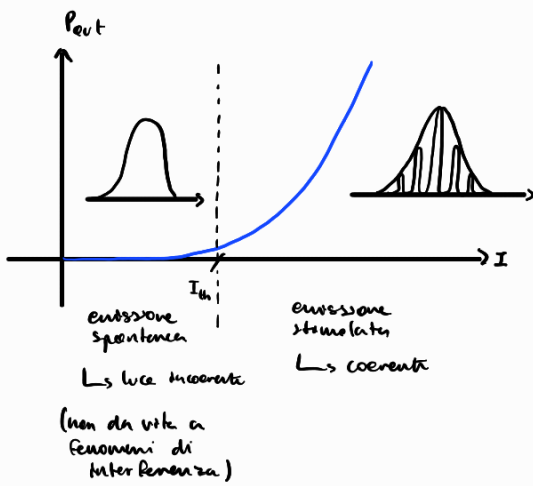
$$\Rightarrow g_{th} = \alpha_s - \frac{1}{2L} \log(R_1 \cdot R_2)$$



$$g = N_2 \cdot \sigma_c - N_1 \cdot \sigma_a$$

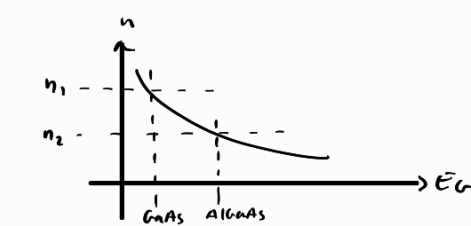
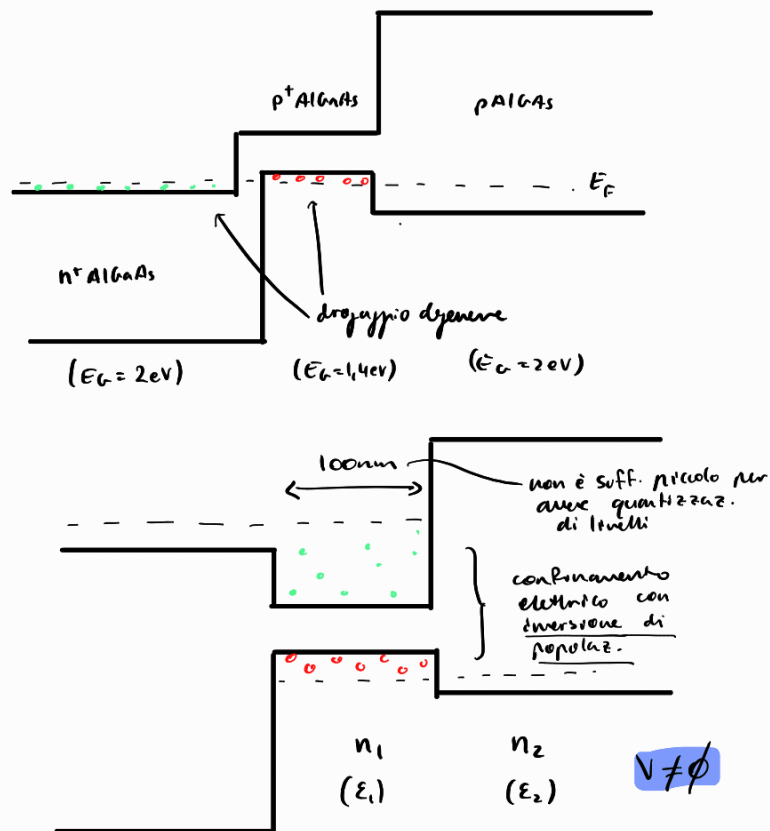
↑
assorbimento
emissione stimolata

trasparente: un fotone injectato ha pari prob. di essere emesso o assorbito

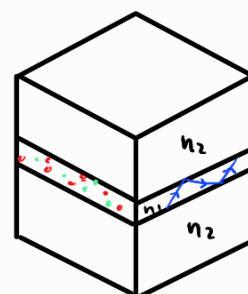


- ho vari problemi col doppio laser a emozione
 - * eccessiva I_{th}
 - * non ci riuscire ad avere un maggiore confinamento

doppio a heterostruttura



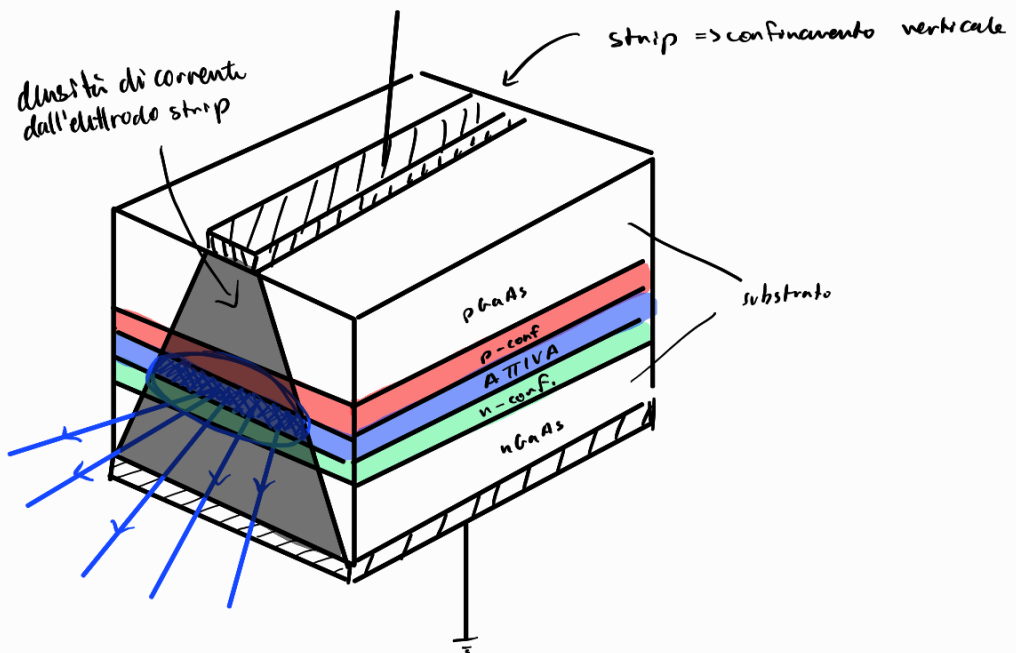
$n_1 > n_2 \Rightarrow$ si comporta anche dei光子 d'onda



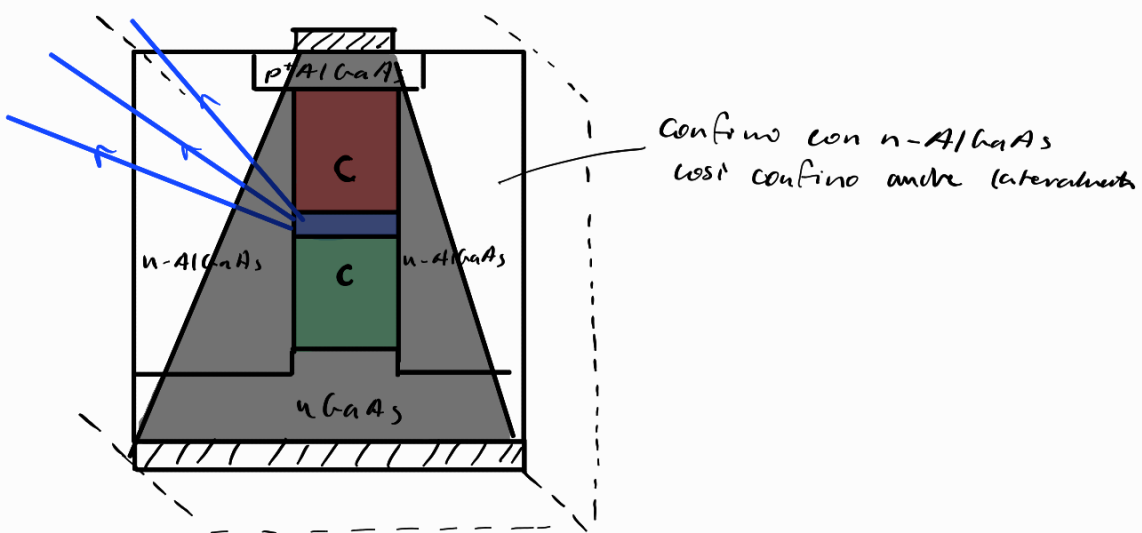
ho confinato:

- * luce (foton)
- * elettroni
- * lacune

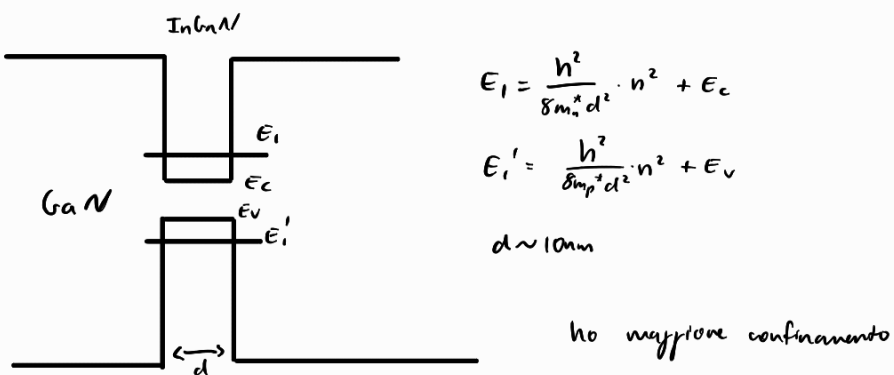
guida da guadagno

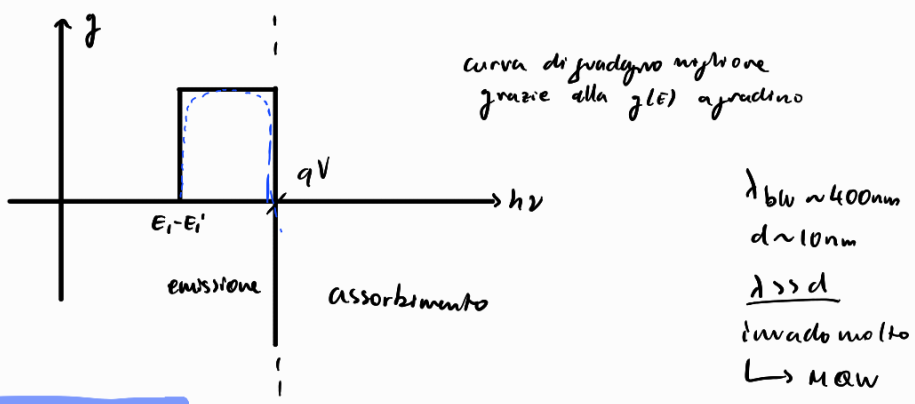


guida da indice



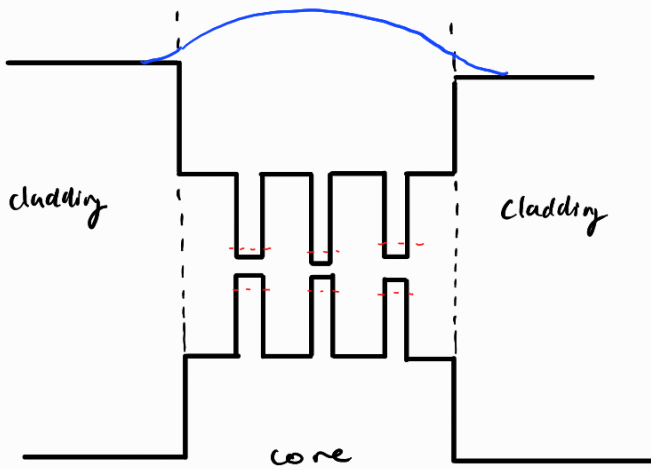
diodo laser quantum well

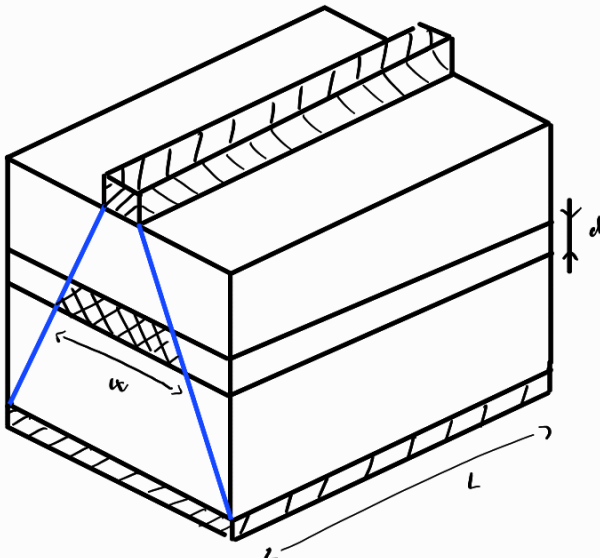




$\lambda_{BLW} \approx 400\text{nm}$
 $d \approx 10\text{nm}$
 $\lambda \gg d$
 invado molto il cladding
 $\hookrightarrow MQW$

multiple quantum well (MQW)





corrente fornita

$$I = \frac{n}{\tau_r} + K n N_{ph}$$

τ_r = tempo di vita degli elettroni che ricombinano per unità di tempo

N_{ph} = numero di fotoni per assorbito (cioè tempo medio di assorbito)

emissione spontanea

emissione stimolata

$n_{th} = \frac{1}{\kappa \tau_{ph}}$

termine di generazione di fotoni

all'equilibrio: assorbimento = emissione

Fotone che l'arrivo che si ricombina, questo ricomb. dura vita a qualche tipo di emissione

sostituito nello spazio dei fotoni

$$\frac{dN_{ph}}{dx} = -\alpha_e N_{ph}$$

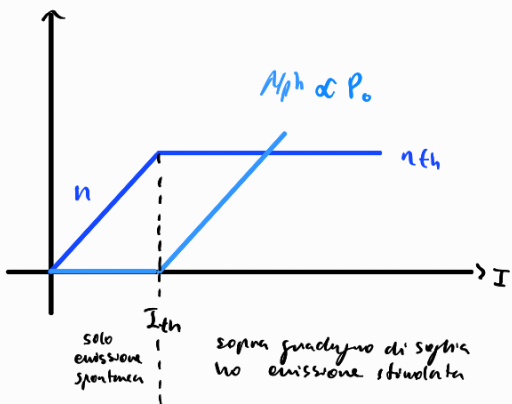
$$\frac{dx}{dt} = \frac{c}{\tau_{ph}} = \frac{1}{\tau_{ph} \alpha_e} \Rightarrow \tau_{ph} = \frac{\tau_r}{c \cdot \alpha_e}$$

lo vorrei massimizzare (aumento la lifetimes)

Lo voglio avere le prodotti α_e minime

$\frac{dN_{ph}}{dt} = -\frac{N_{ph}}{\tau_{ph}}$ (cost. di tempo di spegnimento del laser)

sostituito nel tempo



Sono a soffia per $N_{ph} = 0 \Rightarrow I_{th} = \frac{n_{th}}{\tau_{ph}} \cdot e \cdot d \cdot L \cdot W$ ③

$$\left\{ \begin{array}{l} \text{dalla ①} \Rightarrow N_{ph} = \frac{I}{e \cdot d \cdot L \cdot W \cdot n \cdot \tau_r} \\ \text{dalla ②} \Rightarrow n = \frac{1}{\kappa \cdot \tau_{ph}} \end{array} \right.$$

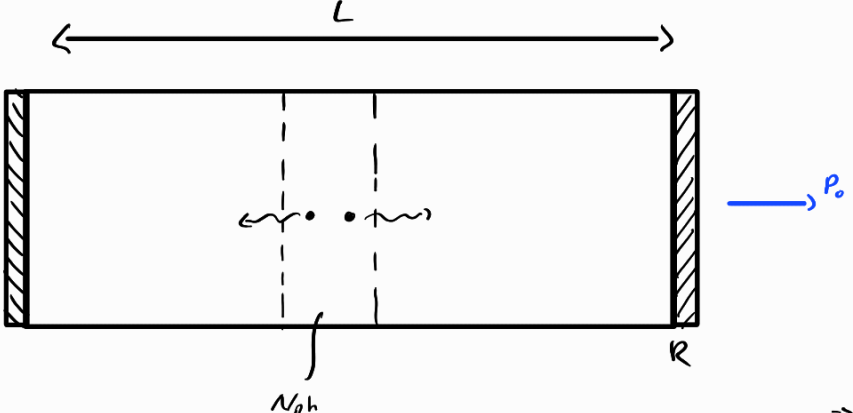
$$\Rightarrow N_{ph} = \frac{I}{e \cdot d \cdot L \cdot W \cdot \tau_{ph}} - \frac{n_{th}}{\tau_r} \cdot \tau_{ph}$$

fotoni generati dalla corrente

dalla ③ $\Rightarrow \frac{n_{th}}{\tau_r} = \frac{I_{th}}{e \cdot d \cdot L \cdot W} \Rightarrow N_{ph} = \frac{I}{e \cdot d \cdot L \cdot W} \cdot \tau_{ph} - \frac{I_{th}}{e \cdot d \cdot L \cdot W} \cdot \tau_{ph} = (I - I_{th}) \frac{\tau_{ph}}{e \cdot d \cdot L \cdot W}$

$\Rightarrow N_{ph} = (I - I_{th}) \frac{\tau_{ph}}{e \cdot d \cdot L \cdot W}$

(valida soprattutto, non ha senso per $I < I_{th}$)



$$P_o = \frac{1}{2} N_{ph} \cdot d \cdot L \cdot W \cdot h\nu \cdot \frac{1}{\left(\frac{L/c}{\epsilon_r}\right)} \cdot (1-R)$$

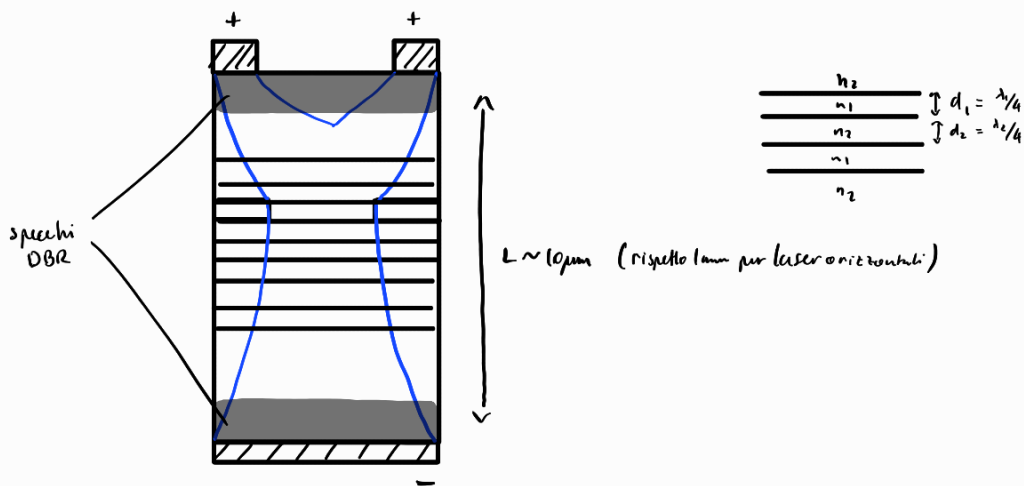
flusso fotoni

tempo per uscire dal volume

$$\Rightarrow P_o = (I - I_{th}) \cdot \frac{\epsilon_{ph}}{e \cdot d \cdot L \cdot W} \cdot \underbrace{\frac{d \cdot W \cdot h \cdot c^2 (1-R)}{2 \epsilon_r \lambda}}$$

$$\Rightarrow P_{\text{ottica}} = (I - I_{th}) \cdot \frac{\epsilon_{ph} \cdot h \cdot c^2 (1-R)}{2 e L \cdot n \lambda}$$

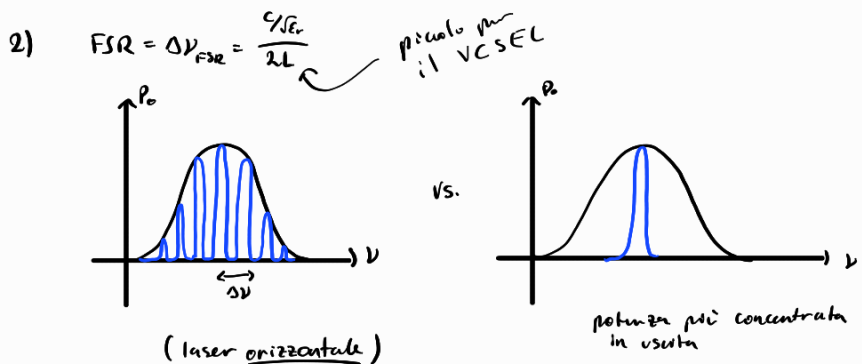
VCSEL - Vertical Cavity Surface Emitting Laser



proprietà:

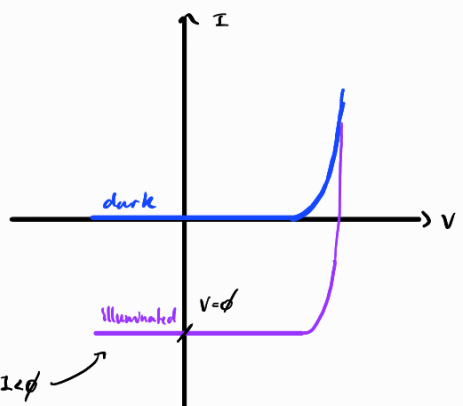
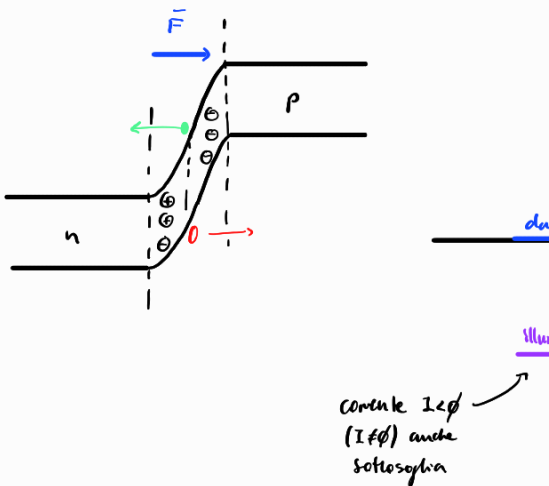
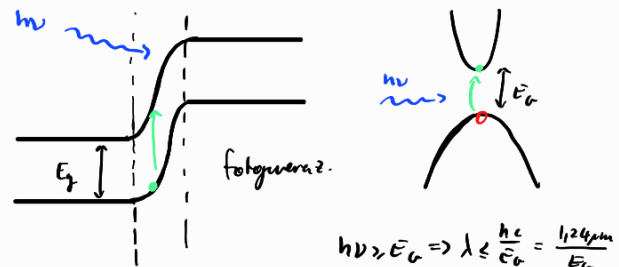
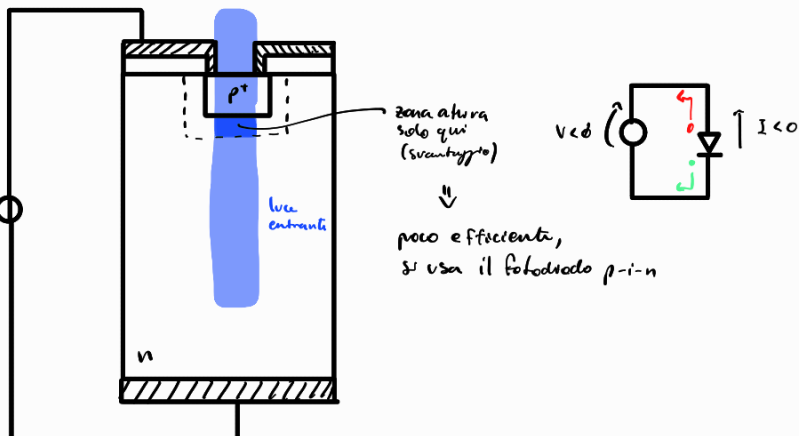
$$1) \quad L \text{ piccolo} \Rightarrow \alpha \text{ alta} \quad \alpha_t = \alpha_s + \frac{1}{2\epsilon} \log \frac{1}{R_1 R_2}$$

si compensa aumentando R_1 e R_2 (uso DBR)

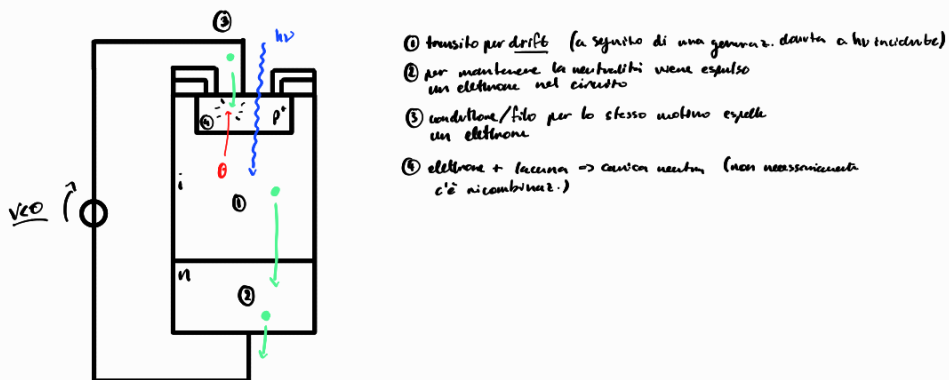


fotodiode

luce \leftarrow elettroni laser
 luce \rightarrow elettroni fotodiodo

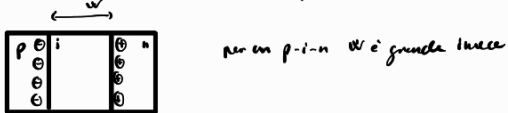


fotodiodo p-i-n

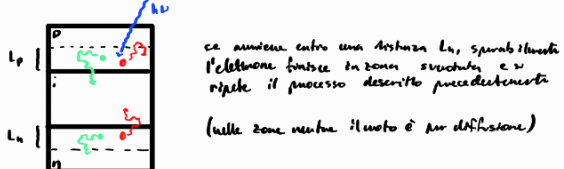


posso fare la zona i grande a piacere \Rightarrow aumento la zona attiva

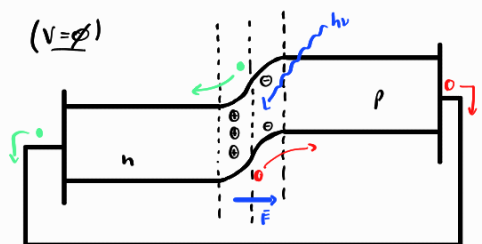
per un diodo p-n: $C = \frac{\epsilon}{w} A \Rightarrow C$ grande \Rightarrow fotodiode lento
 per un p-i-n w è grande invece



se la luce viene assorbita in zona neutra:

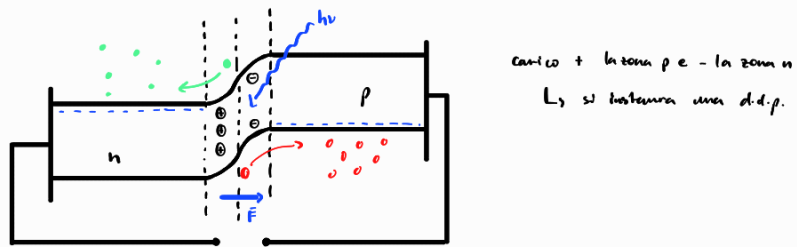


processo fotovoltaico



a circuito aperto:

$(I=\emptyset)$



a regime:

J_{forward} (il caricamento delle zone è come se stessi polarizzando in diretta - gli elettroni anziché \oplus e buone \ominus si abbassano la barriera)

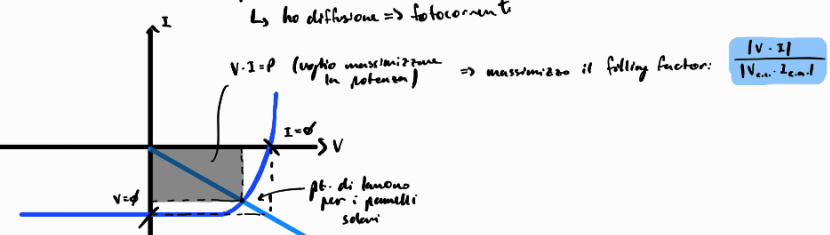
$$\Rightarrow J_{\text{tot}} = J_{\text{forward}} + J_{\text{ph}} = \emptyset \quad (\text{a regime, 14 c.a.})$$

si stringe \Rightarrow riduci la barriera di potenziale

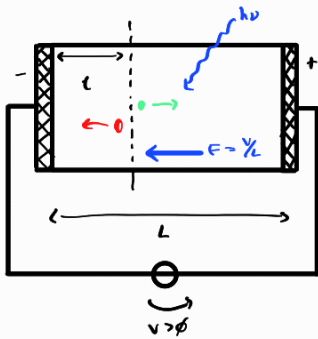
L_s ha diffusione \Rightarrow photocorrente

$$V \cdot I = P \quad (\text{uglio massimizzare} \Rightarrow \text{massimizza il filling factor: } \frac{|V \cdot I|}{|V_{\text{sat}} \cdot I_{\text{sat}}|})$$

$V=0$ (per i pannelli solari)



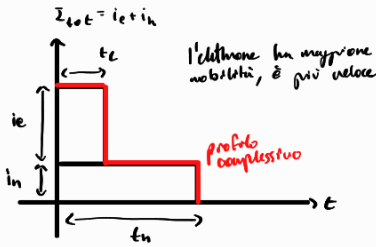
teo. Shockley - Ramo



$$\text{tempi di transito:} \quad \begin{cases} t_e = \frac{L-l}{v_e} \\ t_h = \frac{l}{v_h} \end{cases}$$

conservaz. energia: $q \int F dx = V \cdot i_e dt$
 (lavoro compiuto dalla forza elettrica) \Rightarrow (potere considerando la corrente degli elettroni)

$$\Rightarrow q \int \frac{V}{L} dx = V \cdot i_e \cdot dt \Rightarrow i_e = q \cdot \frac{1}{L} \cdot \frac{dx}{dt} \Rightarrow i_e = \frac{q V_e}{L} \quad \text{e analogamente } i_n = \frac{q V_h}{L}$$



$$\int I dt = i_e \cdot t_e + i_n \cdot t_h = \frac{q V_e}{L} \cdot \frac{L-l}{v_e} + \frac{q V_h}{L} \cdot \frac{l}{v_h} = q$$

cioè ho due cariche che si spostano, ma in questo transistore vedo una sola carica

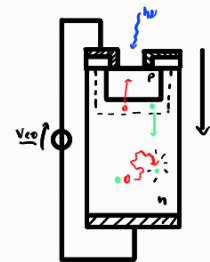
motto è equivalente a quello di un singolo elettrone
 $\Rightarrow 1$ fotone $\rightarrow 1$ elettrone

$$\eta = \frac{I_{ph}/q}{P_0/h\nu} \quad \text{se efficienza quantica}$$

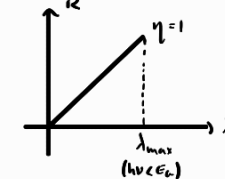
tasso di fotoni incidenti

$$R = \frac{I_{ph}}{P_0} = \eta \frac{q}{h\nu} = q \frac{1}{hc} \lambda \propto \lambda$$

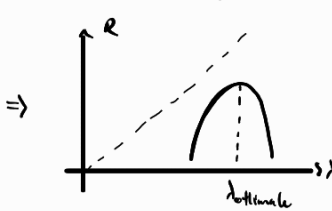
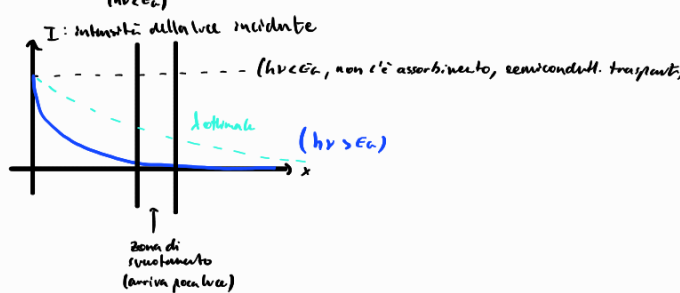
rispondente



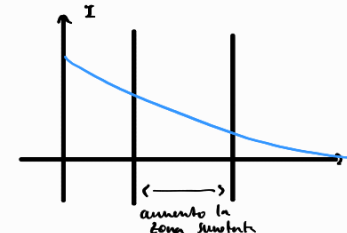
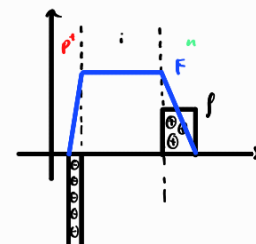
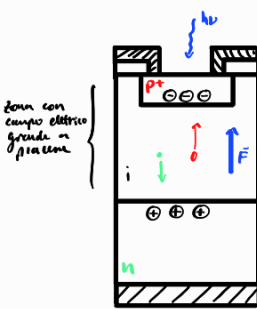
In genere: deve avvenire nella zona con un campo elettrico (zona di riaccolto)



λ_{max} ($h\nu = E_g$)



fotodiodo p-i-n



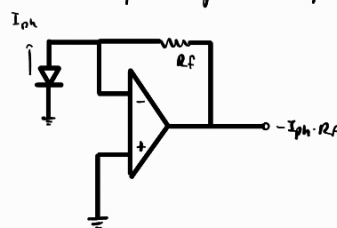
$$C_d = \frac{\epsilon \cdot S}{V_i} \quad \text{capacità inversore} \Rightarrow \text{risposta più veloce}$$

$T \approx 10 \mu\text{s}$

Lo paga però con un tempo di transito maggiore dei portatori:

$$v_{sat} \approx 10^7 \text{ cm/s} \Rightarrow t_d = \frac{W_i}{v_{sat}} \approx 100 \mu\text{s} \quad \text{tempo limitante nella risposta}$$

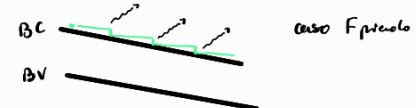
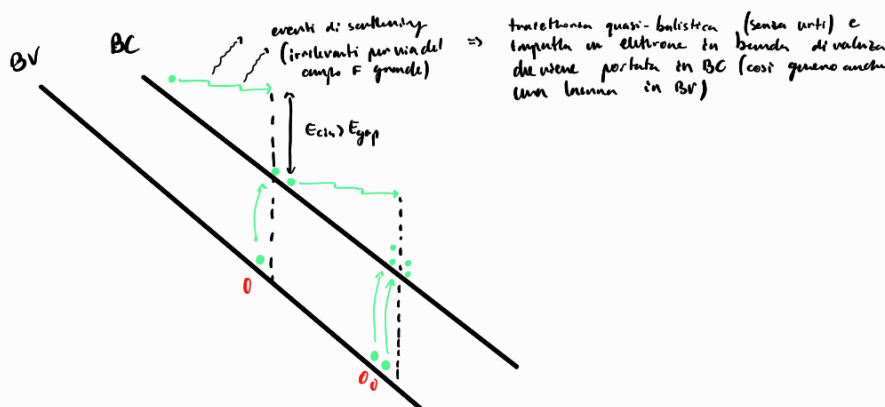
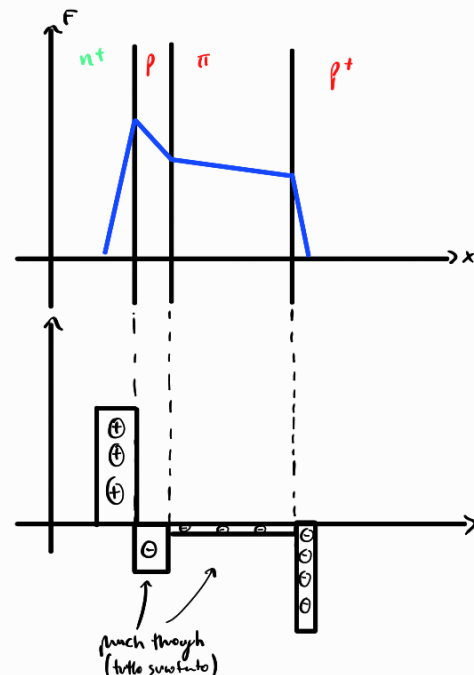
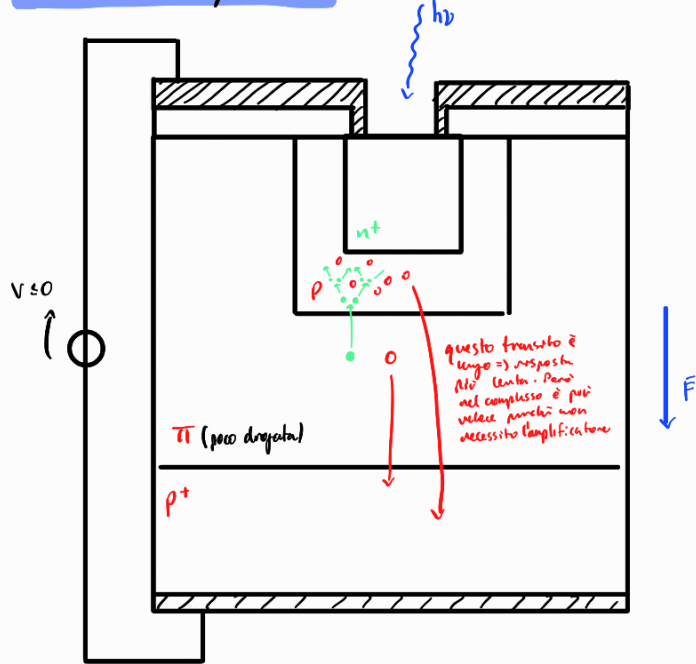
c'è però bisogno di amplificare la photocorrente ($\eta \ll 1$)



la banda del circuito amplificante limita la risposta

Se non voglio usare un circuito a transimpedenza mi servirà un'efficienza $\gg 1$

Fotodiodo a valanga (APD)



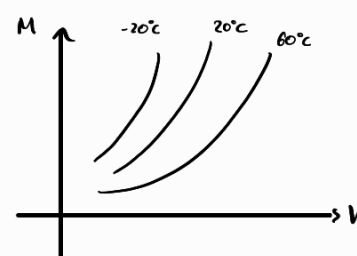
alla fine questi elettronni fanno scorrere in zona n+ e negli anelli, stessa cosa per le lacune che fanno scorrere in zona p+

fattore di moltiplicazione: $M = \frac{I_{ph}}{I_{ph,0}}$

fotocorrente generata
in assenza di valanga

$$M = \frac{1}{1 - \left(\frac{V}{V_{DD}}\right)^m}$$

tuttavia caratteristico di best fit



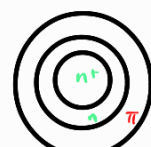
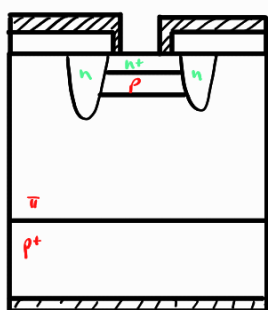
per T maggiore, più rilascio di foroni h, è quindi meglio lavorare a bassa temp.

problema:



Suggerispi ho campi molto intensi \Rightarrow rischio breakdown

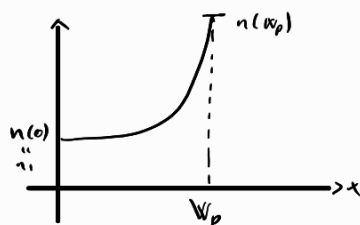
\hookrightarrow per risolvere questo problema si usa un guard ring



$\rightarrow dn = h \cdot \alpha_e \cdot dx \Rightarrow n(x) = n(0) e^{\alpha_e x}$

↑ coeff. di ionizzaz. a tempo elettronico (è una probabilità di ionizzaz. per unità di lunghezza)

aumento della concentraz. die e in dx



$$\Rightarrow n_2 = n_1 e^{\alpha_e W_p} \Rightarrow \frac{n_2}{n_1} = M = e^{\alpha_e W_p}$$

$$\alpha_e = A e^{-\frac{B}{F}}$$

Inoltre c'è anche un α_h (possono dare vita anche le lumine a valanga)



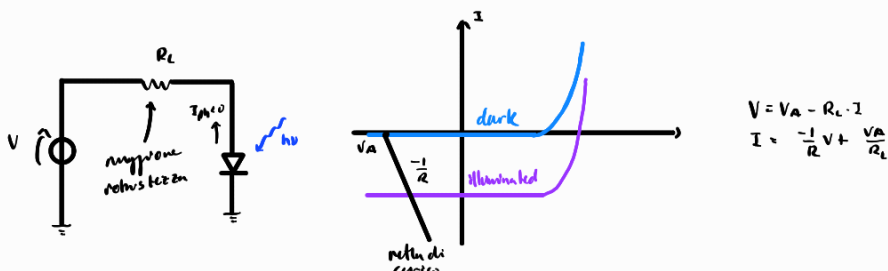
α_h è abb. trascurabile nel solido

$$K = \frac{\alpha_h}{\alpha_e}$$

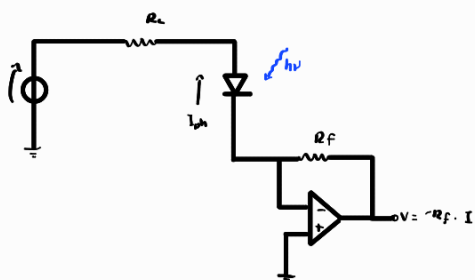
$$M = \frac{1-k}{e^{-(1-k)\alpha_e W} - k}$$

$\xrightarrow{k \rightarrow 0} e^{\alpha_e W}$
 $\xrightarrow{k \rightarrow +\infty} 1$

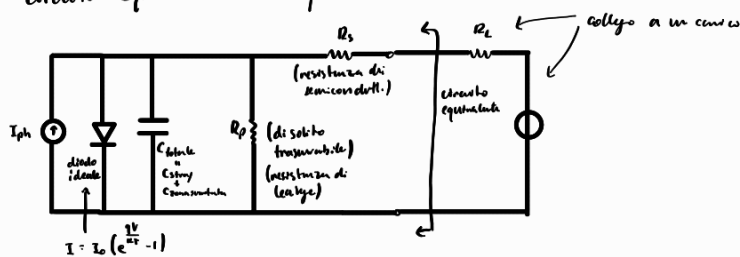
due esere finito
 $k \alpha_e = \alpha_h$
 quindi l'esp. adiunz. per $k \rightarrow \infty$
 $\rightarrow \infty$ punti $\alpha_e \rightarrow \infty$



si deve poi amplificare:



corrente equivalente in frequenza



$$T_{RC} = C_T \cdot (R_s + R_L) \sim 10 \text{ ns}$$

